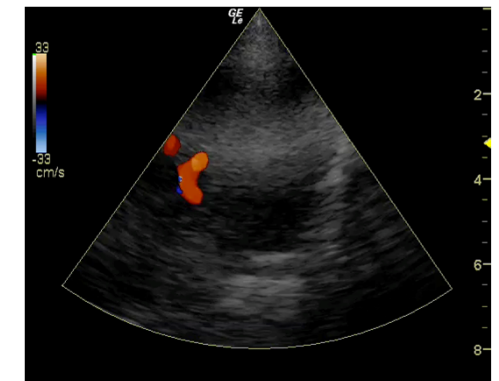


# Echo-Doppler transcrânien Aspects techniques



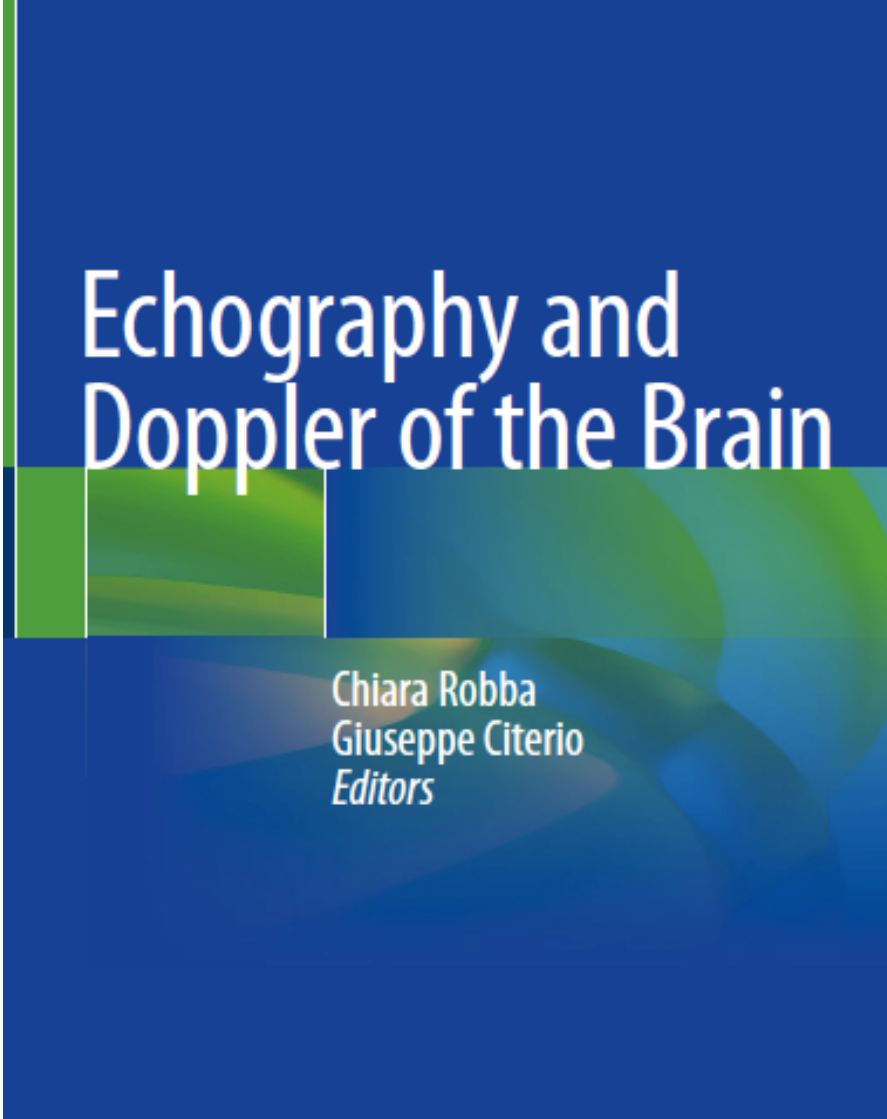
**Pr Thomas GEERAERTS**  
*Pôle Anesthésie Réanimation  
CHU de Toulouse*

# Conflits d'intérêt

---

- Aucun

# Echography and Doppler of the Brain



Chiara Robba  
Giuseppe Citerio  
*Editors*

# Brain ultrasonography: methodology, basic and advanced principles and clinical applications. A narrative review

Chiara Robba<sup>1\*</sup> , Alberto Goffi<sup>2</sup> , Thomas Geeraerts<sup>3</sup>, Danilo Cardim<sup>4</sup>, Gabriele Via<sup>5</sup>, Marek Czosnyka<sup>6</sup>, Soojin Park<sup>7</sup>, Aarti Sarwal<sup>8</sup>, Llewellyn Padayachy<sup>9</sup>, Frank Rasulo<sup>10</sup>  and Giuseppe Citerio<sup>11</sup> 

## Take-home message

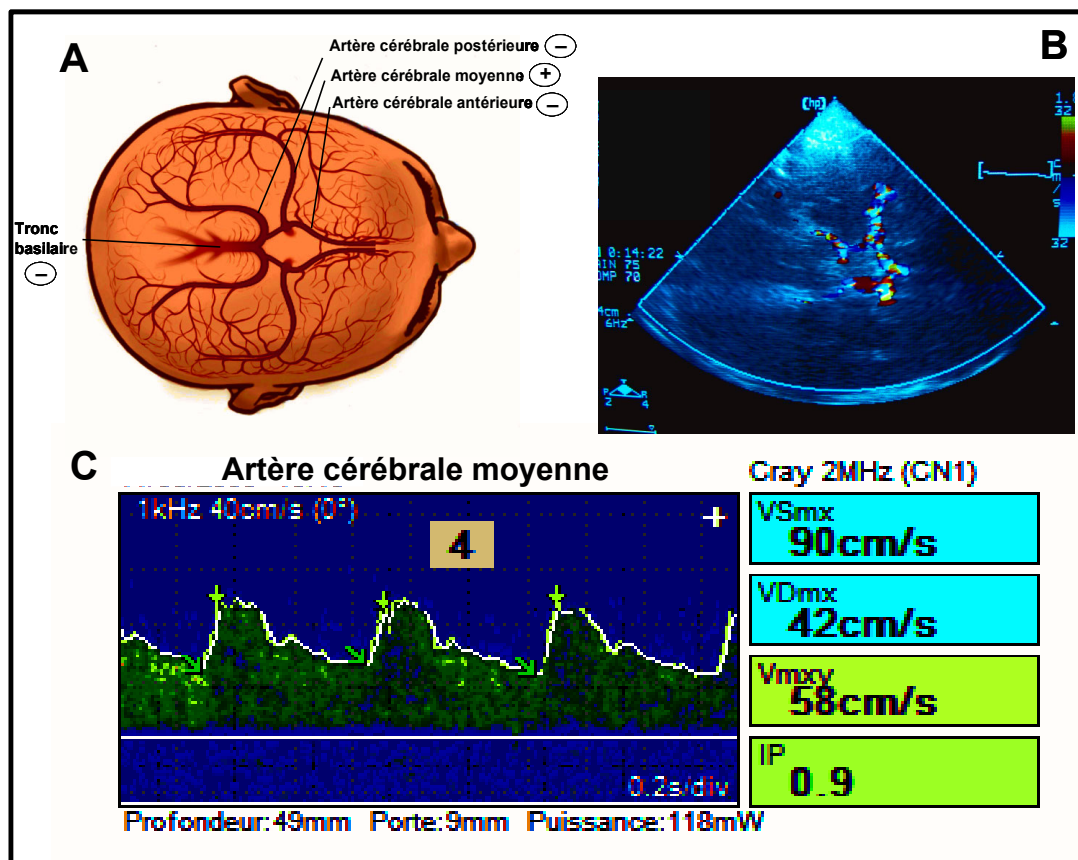
Brain ultrasonography enables assessment of the main structures of the brain, including the parenchyma and major cerebral vessels.

Brain ultrasonography can be performed using commonly used ultrasound systems, through four main acoustic windows (transtemporal, occipital, submandibular and transorbital).

Brain ultrasonography can be used for rapid bedside assessment of pathological changes in neurocritically ill patients, allowing, for example, evaluation of intracerebral haematomas, estimation of raised intracranial pressure, and detection of midline shift and intracranial masses.

Brain ultrasonography is not used exclusively in neurocritical care; clinical applications have been described in different settings, including general intensive care and the emergency department.

# Doppler transcrânien



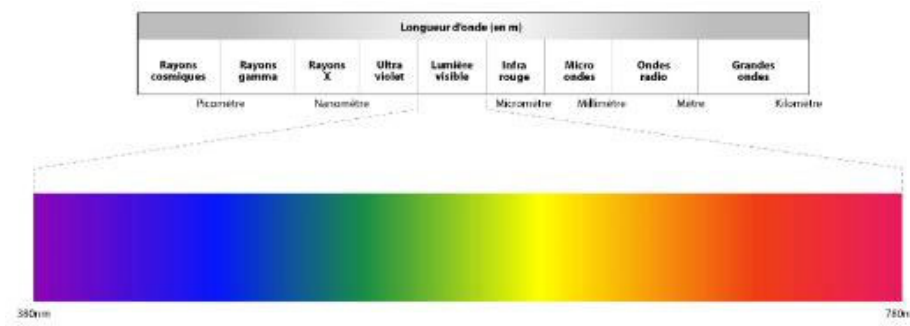
Short communication

## **Christian Johann Doppler: the man behind the effect**

A ROGUIN, MD

*Cardiology Department, Rambam Medical Center, Haifa 31096, Israel*

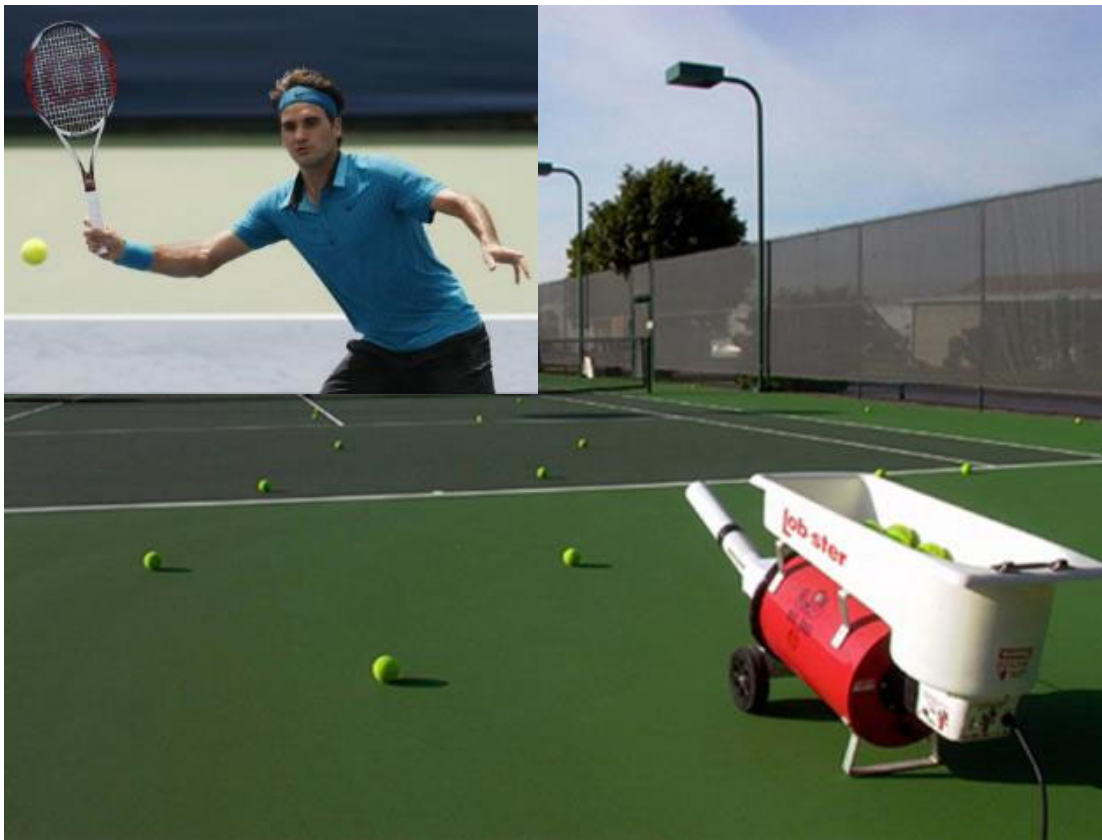
La lumière colorée des étoiles et autres corps célestes  
vire au bleu lorsque l'étoile se rapproche de la terre  
et vire au rouge lorsqu'elle s'en éloigne



**Figure 1.** Christian Johann Doppler (1803–1853).

# Doppler pulsé

---



# Effet Doppler

---

Modifications de la fréquence et de la longueur d'onde des ondes réfléchies

$$\Delta f = 2 \cdot F_0 \cdot V/C \cdot \cos\theta$$

$\Delta f$  : variation de fréquence de l'onde

$F_0$ : fréquence de l'onde émise

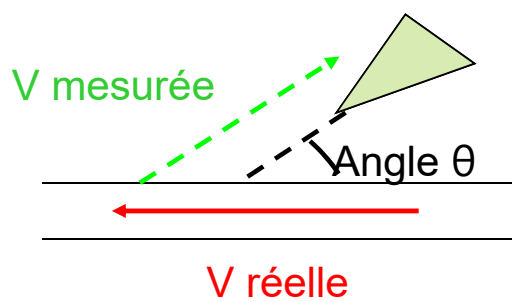
$V$ : vitesse du flux sanguin

$C$ : vitesse du son dans le tissu

$\cos\theta$ : angle sonde et vaisseau

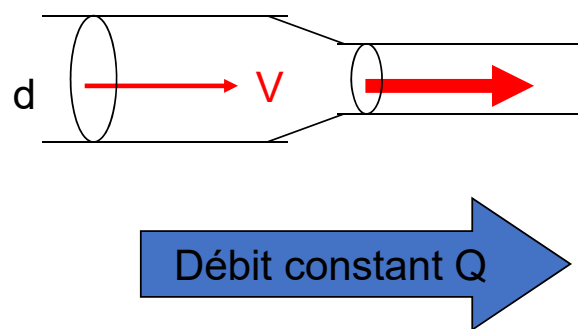
# Angle d'insonation

---



- La vitesse mesurée dépend du cosinus de l'angle d'insonation

$$V_{\text{mesurée}} = \cos \theta \times V_{\text{réelle}}$$



- A débit constant, la vitesse circulatoire augmente proportionnellement avec la diminution du diamètre du vaisseau

$$V = \text{const.} \times Q / d^2$$

# Vitesse n'est pas débit La Garonne

Toulouse



Débit moyen  
200 m<sup>3</sup>/sec

$$Q = V \times \text{section}$$

Bordeaux



Débit moyen  
700 m<sup>3</sup>/sec

## Chez l'adulte, il y a un os...

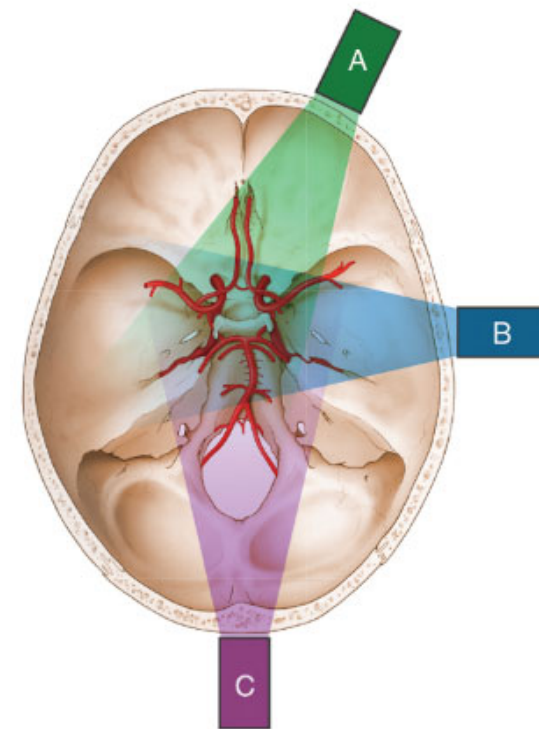
---

- Les fontanelles sont fermées
- Le faisceau d'ultrasons est absorbé en grande partie par l'os
- Pour obtenir un signal acceptable
  - Sonde 2 MHz
  - Sonde 1.8 – 3.6 MHz pour Doppler Couleur
  - Puissance entre 10 and 150 mW/cm<sup>2</sup>

# Les fenêtres osseuses

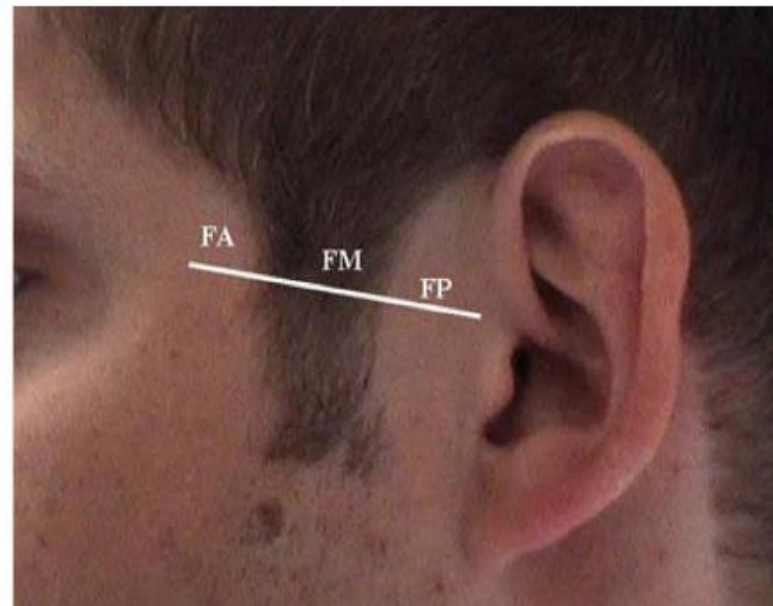
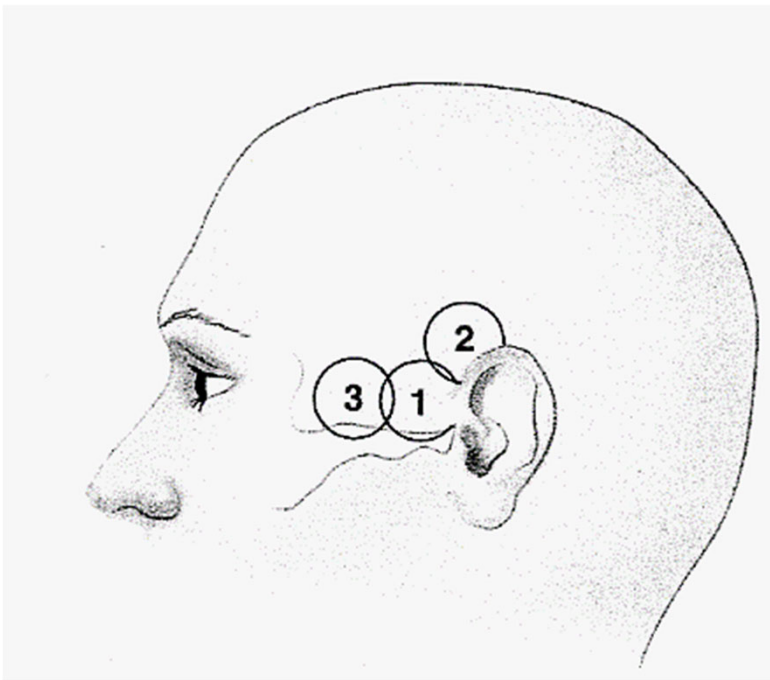
---

- Transtemporal
- Transorbital
- Sousoccipital
  - Transforamenal
- Sousmandibulaire



# Les fenêtres

Temporale



# Noninvasive transcranial Doppler ultrasound recording of flow velocity in basal cerebral arteries

RUNE AASLID, PH.D., THOMAS-MARC MARKWALDER, M.D., AND HELGE NORNES, M.D.

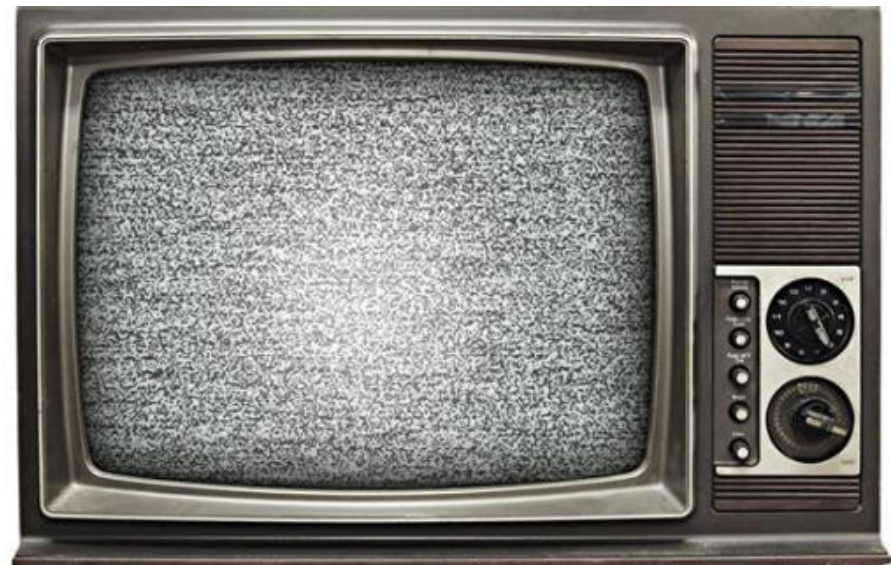
technique during surgery,<sup>2,8,9</sup> and in children with open fontanelles.<sup>7</sup> In adults, however, the skull is a severe obstacle to the penetration of ultrasound. Bone strongly attenuates the ultrasonic wave, making it impossible to record noninvasively the blood flow velocity from intracranial arteries by conventional Doppler instruments operating in the range from 5 to 10 MHz. At lower frequencies, 1 to 2 MHz, the attenuation in bone and soft tissues is considerably less. The skull bones are of varying thickness, and because the bone of the temporal

Doppler recordings of bilateral MCA blood flow velocities were obtained in all 50 subjects. However,

# Parfois la fenêtre reste fermée

---

- Jusqu'à 18% dans les études d'AVC
- Femme
- Age
- Ethnie « non-blanche »



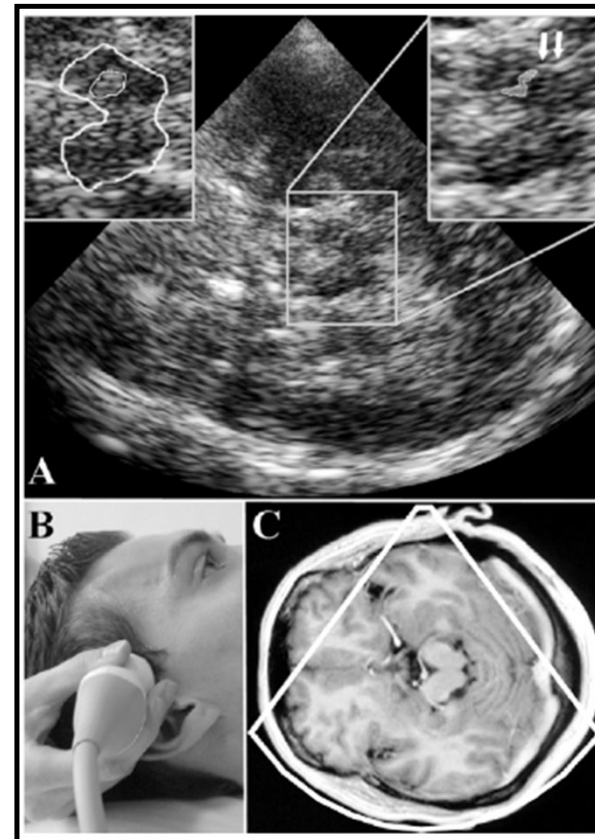
Grolimund P. Transmission of ultrasound through the temporal bone.  
In: Aaslid R, ed. Transcranial Doppler sonography. Wien/New York: Springer Verlag, 1985:10–18.

# Transcranial sonography of the cerebral parenchyma: Update on clinically relevant applications

Uwe Walter\*

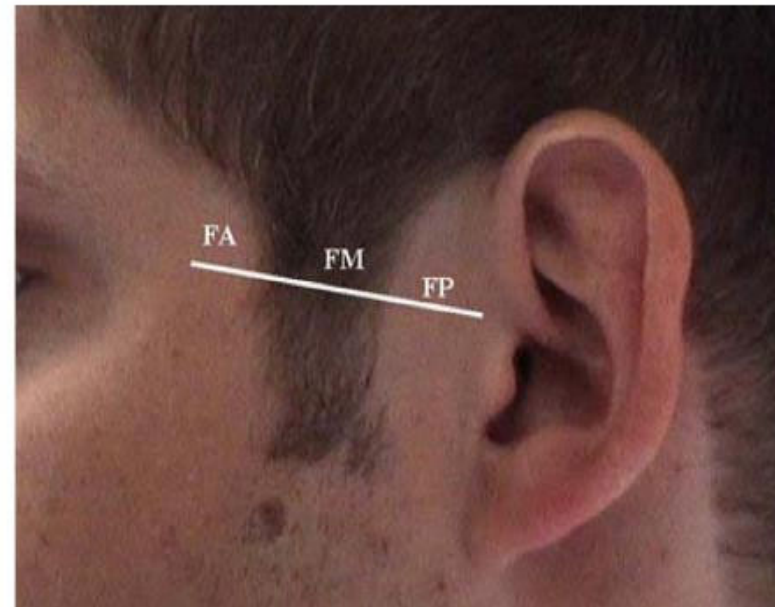
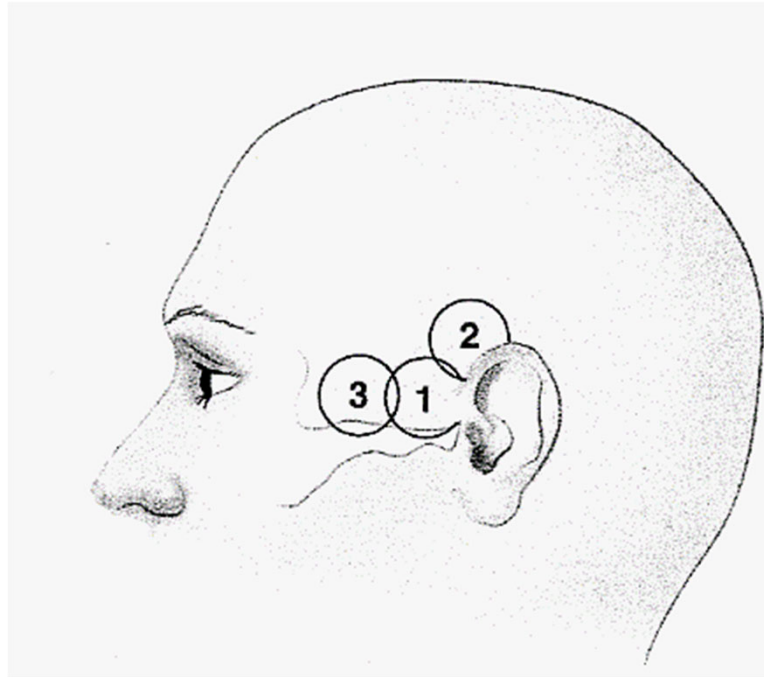
**Table 1** Ultrasound system settings for transcranial sonography.

Parameter	Settings
Ultrasound system	
Penetration depth	Start with 14–16 cm, reduce if needed
Dynamic range	45–55 dB
Postprocessing function	Moderate suppression of low echo signals
Time gain compensation	Adjust manually as needed, or use the 'tissue optimization' function if available
Image brightness	Adjust manually, not too high, or use the 'tissue optimization' function if available
Ultrasound transducer	
Crystal/channel	As high as possible, ideally: 'matrix' probe
Insonation frequency (center frequency)	2.0–3.5 MHz, preferably 2.5 MHz



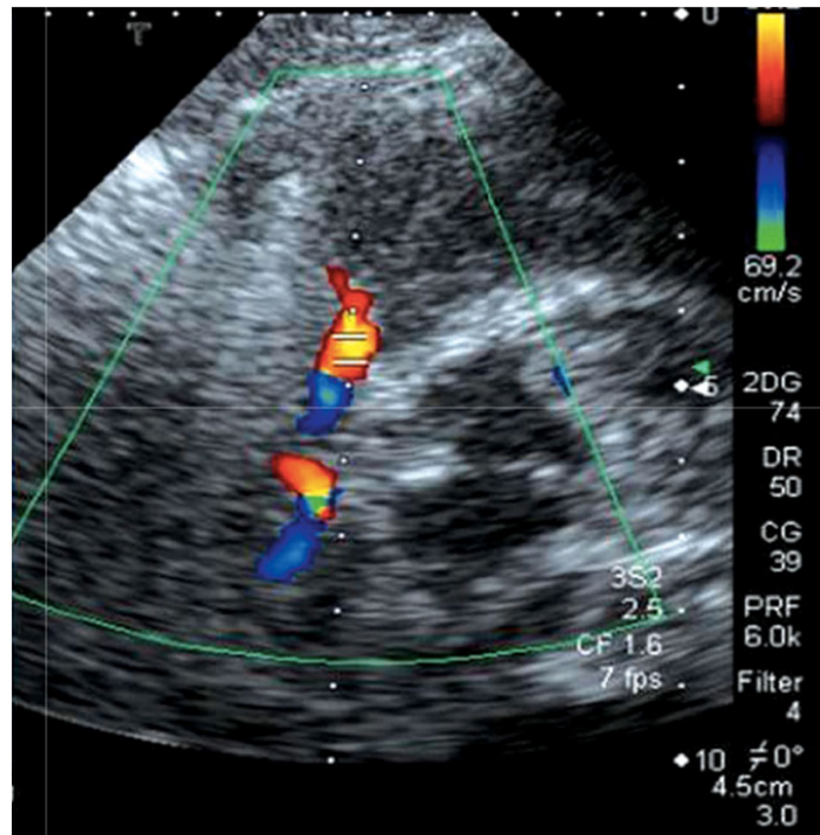
# La fenêtre temporale

---



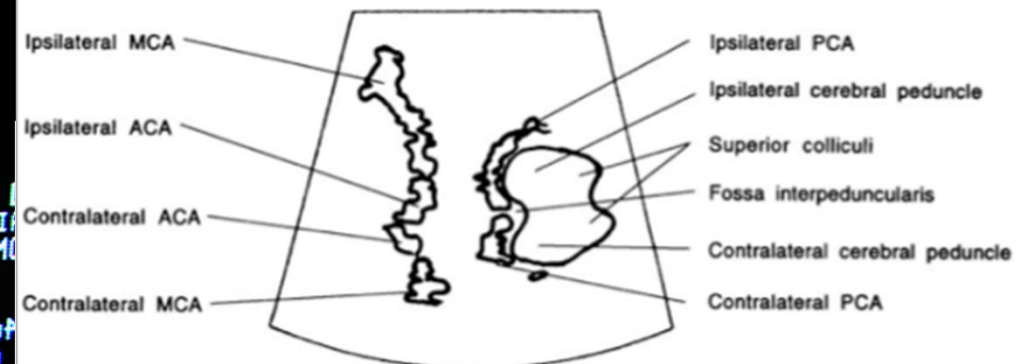
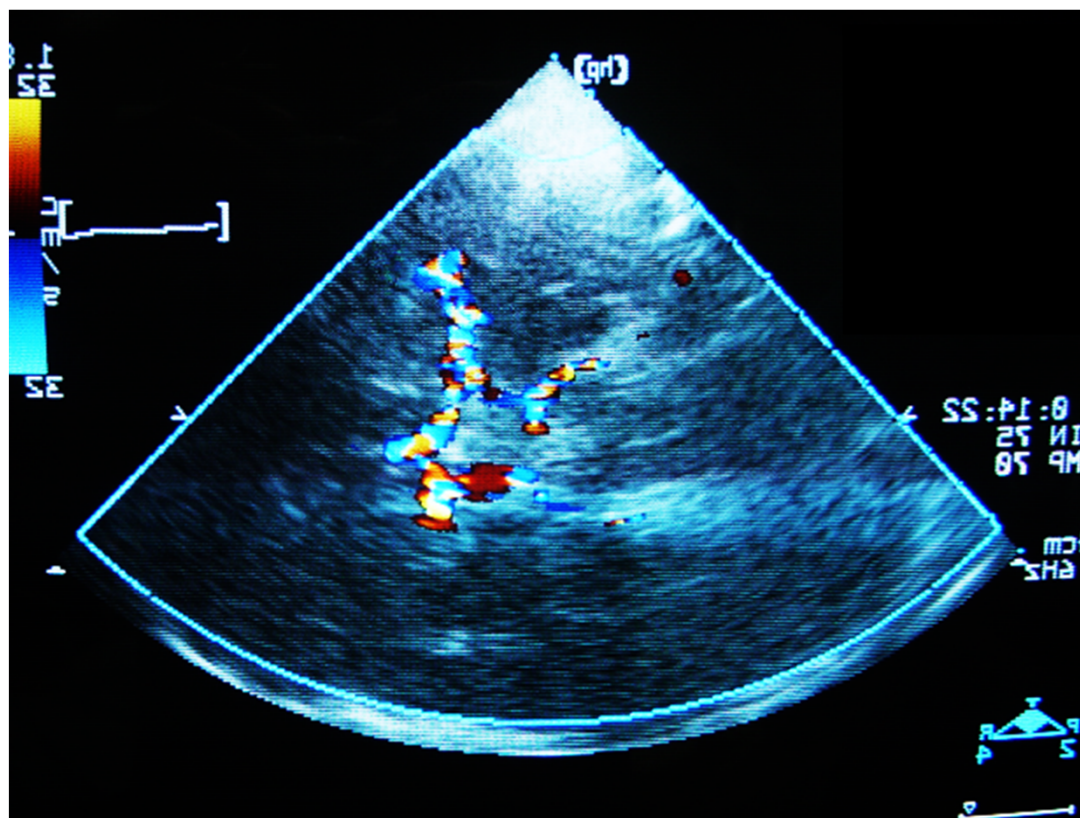
# Visualiser le mesencéphale

---

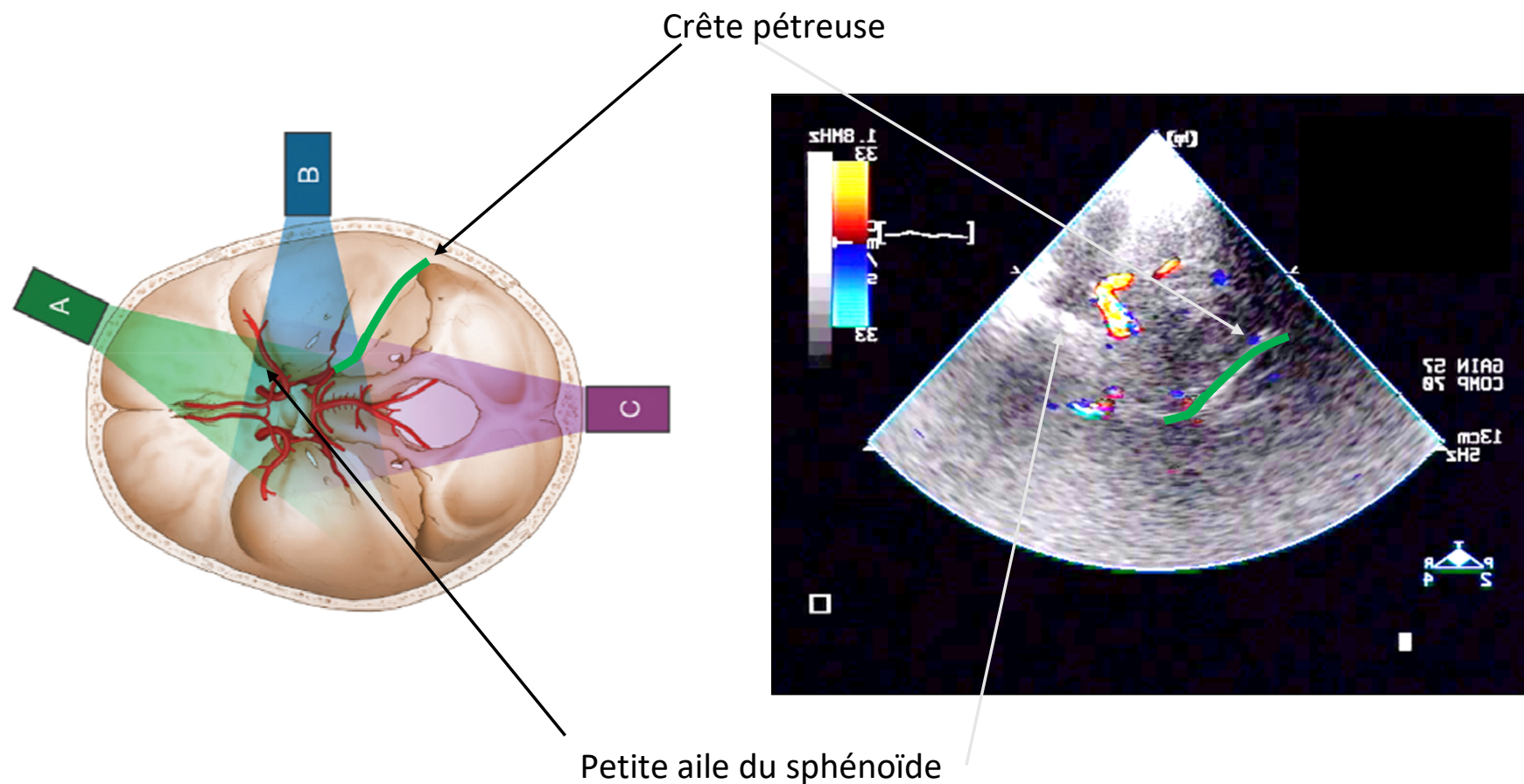


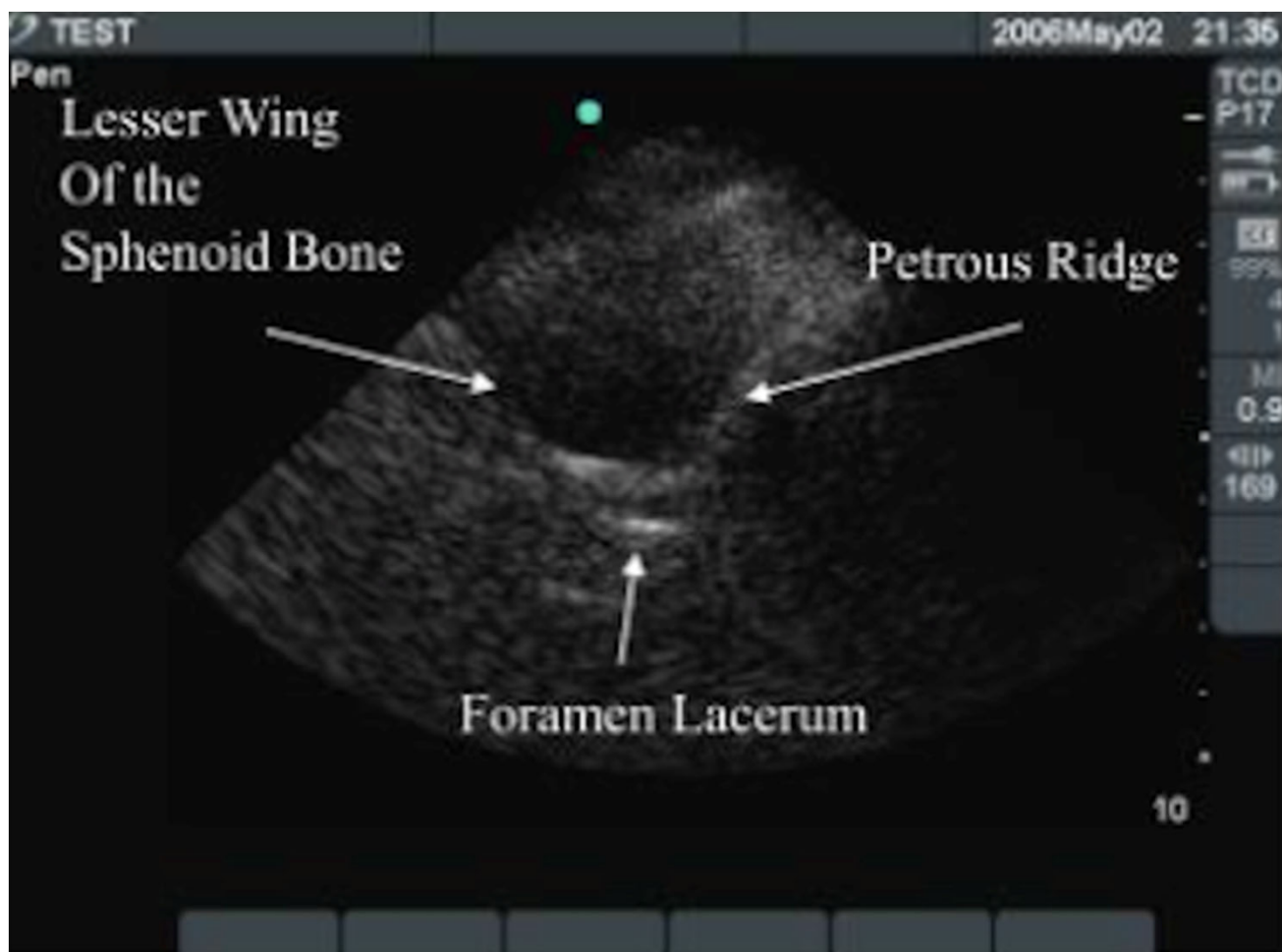
# Polygone de Willis

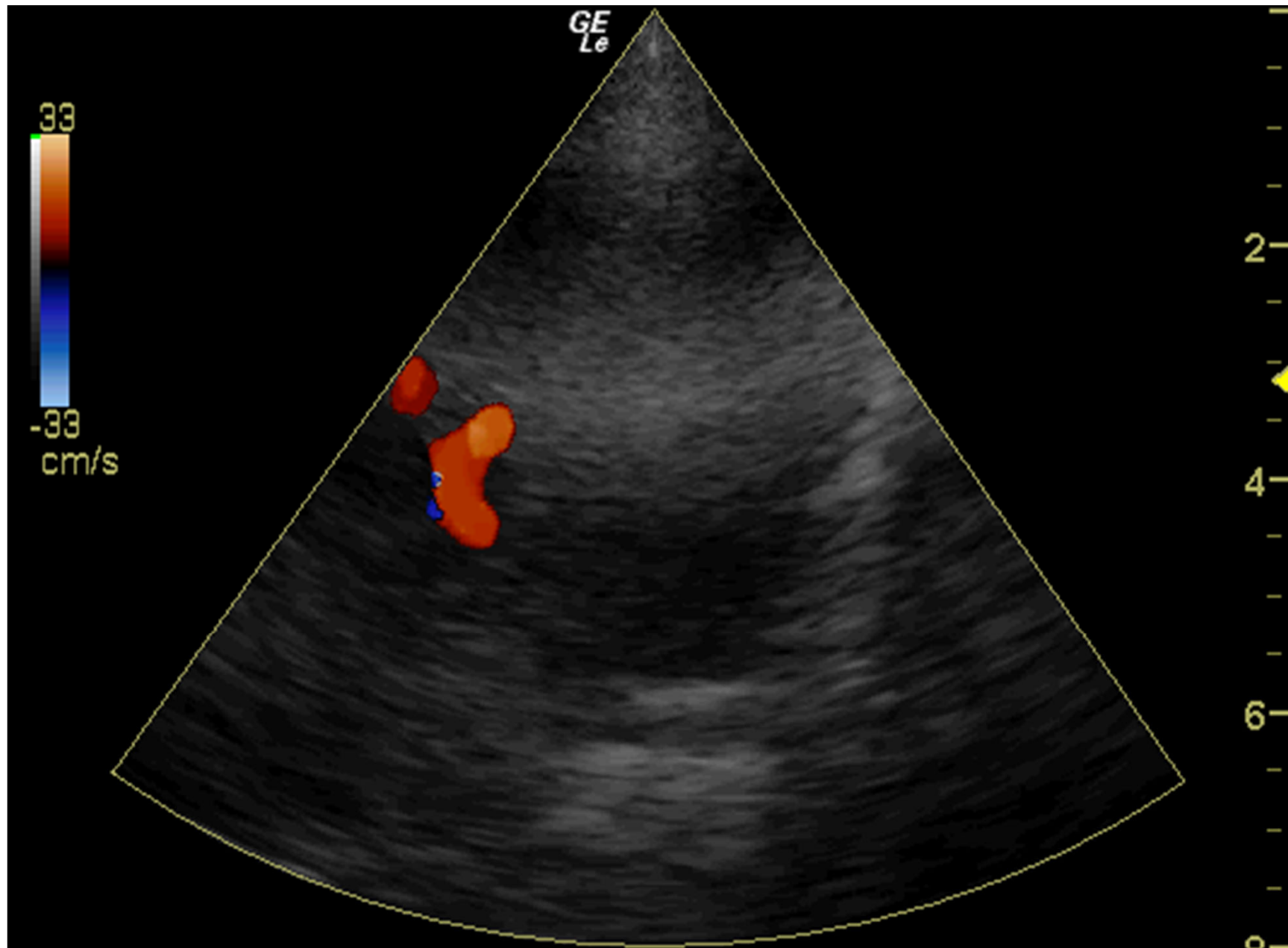
---



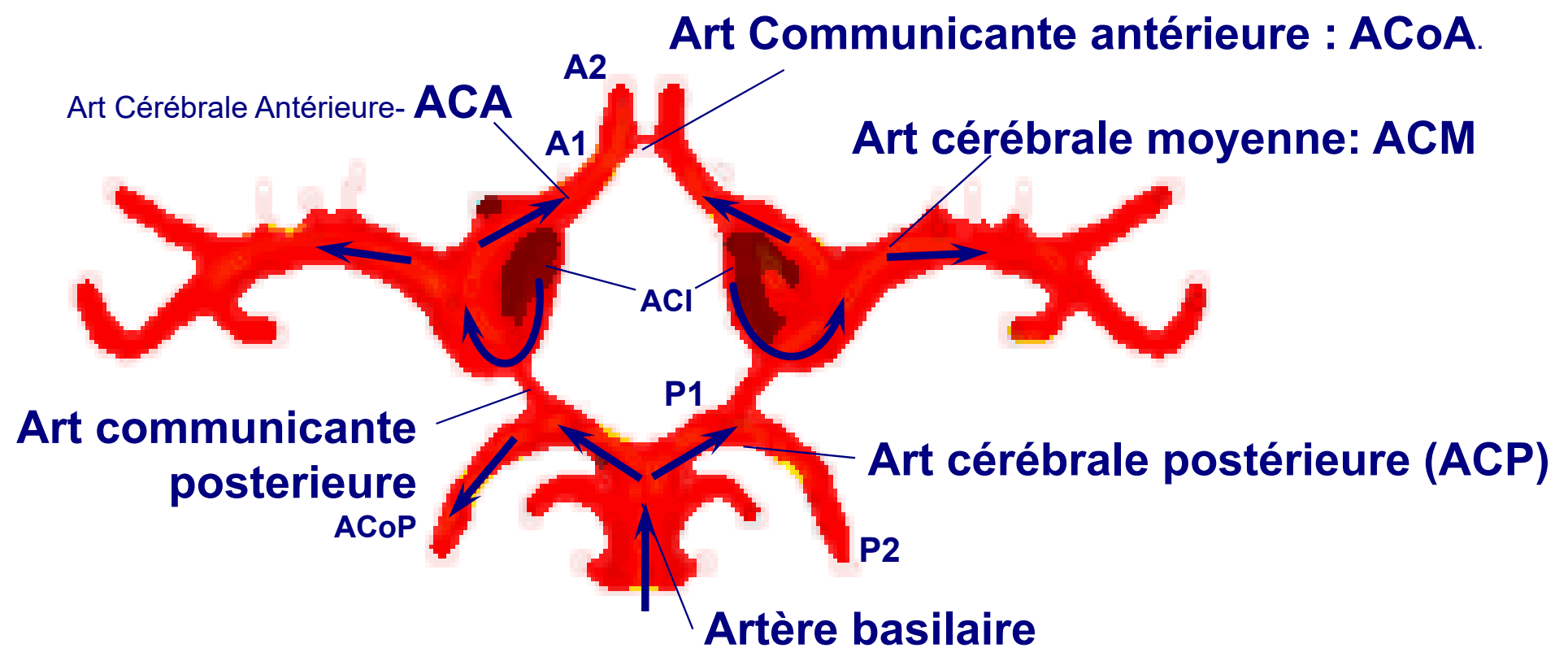
# Repères osseux







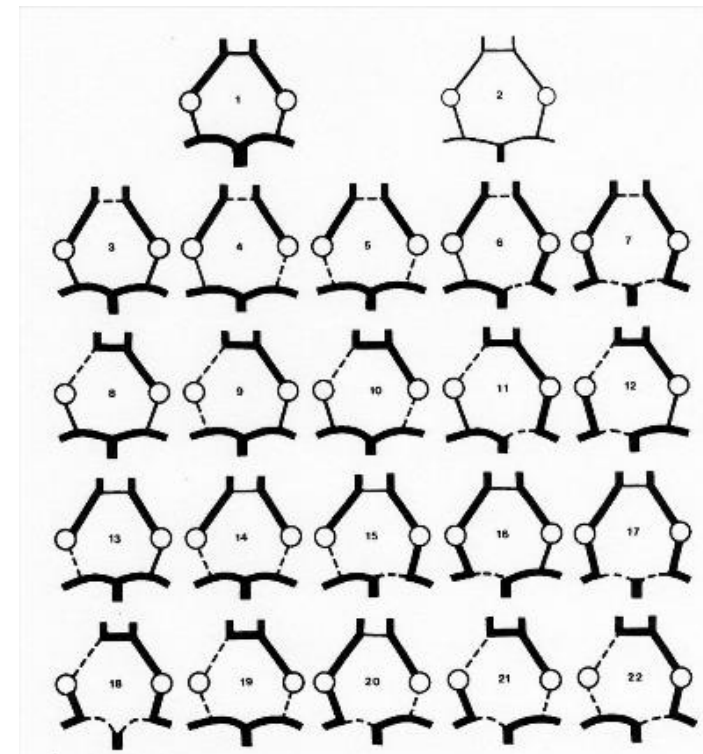
# Polygone de Willis



# Variantes anatomiques du polygone

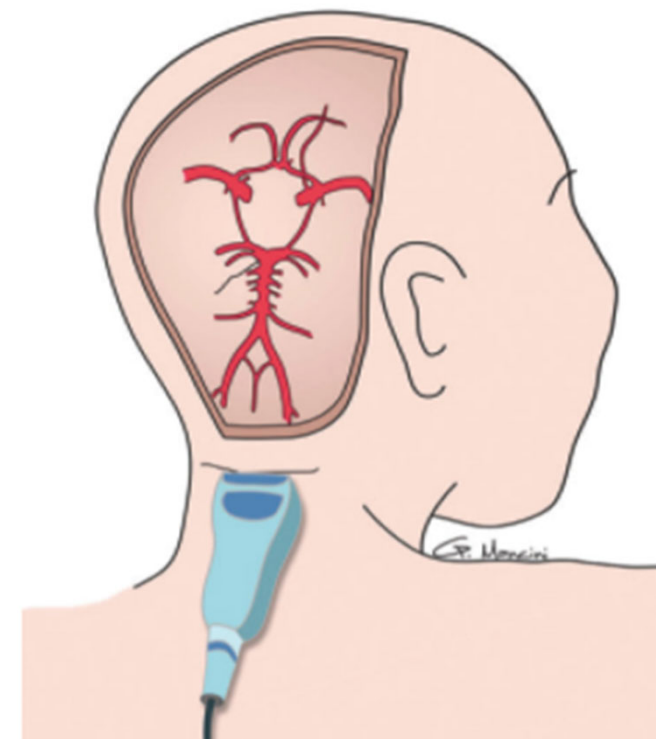
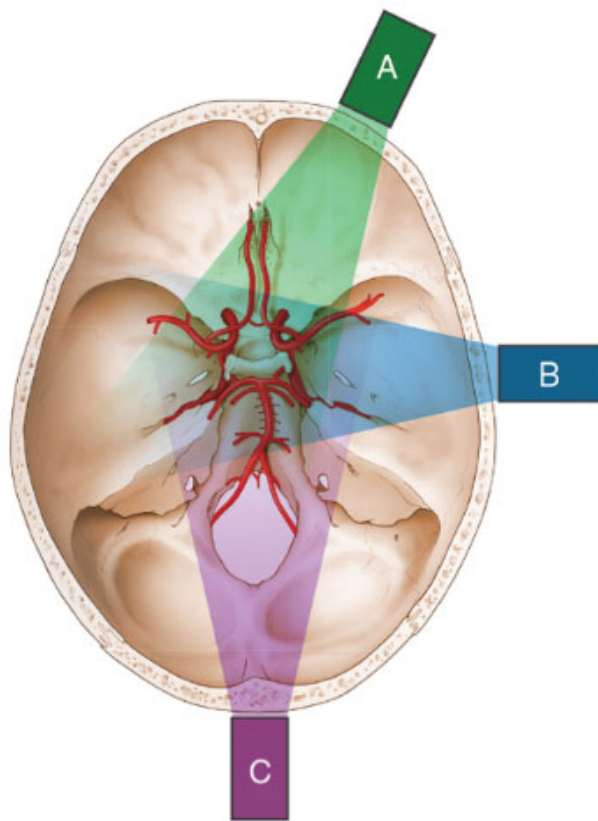
---

- Environ 20% de la population possède un polygone parfait
- 22 variantes



# La fenêtre sous-occipitale

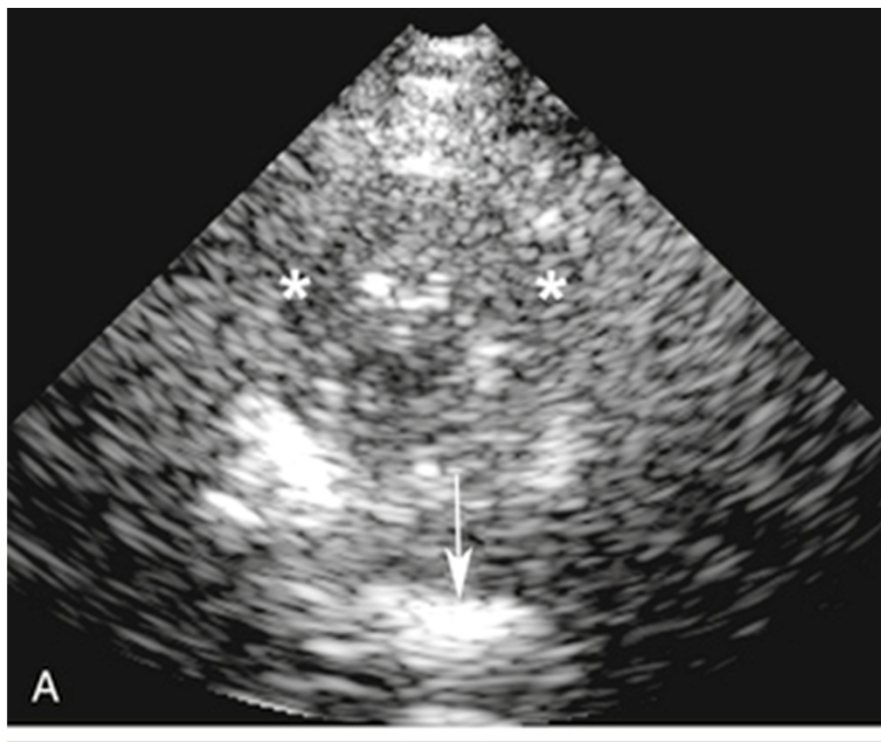
---



<https://www.semanticscholar.org>

# La fenêtre sous-occipitale

---



# An Alternative Ultrasonographic Approach to Assess Basilar Artery Flow

Thomas Geeraerts, MD, PhD

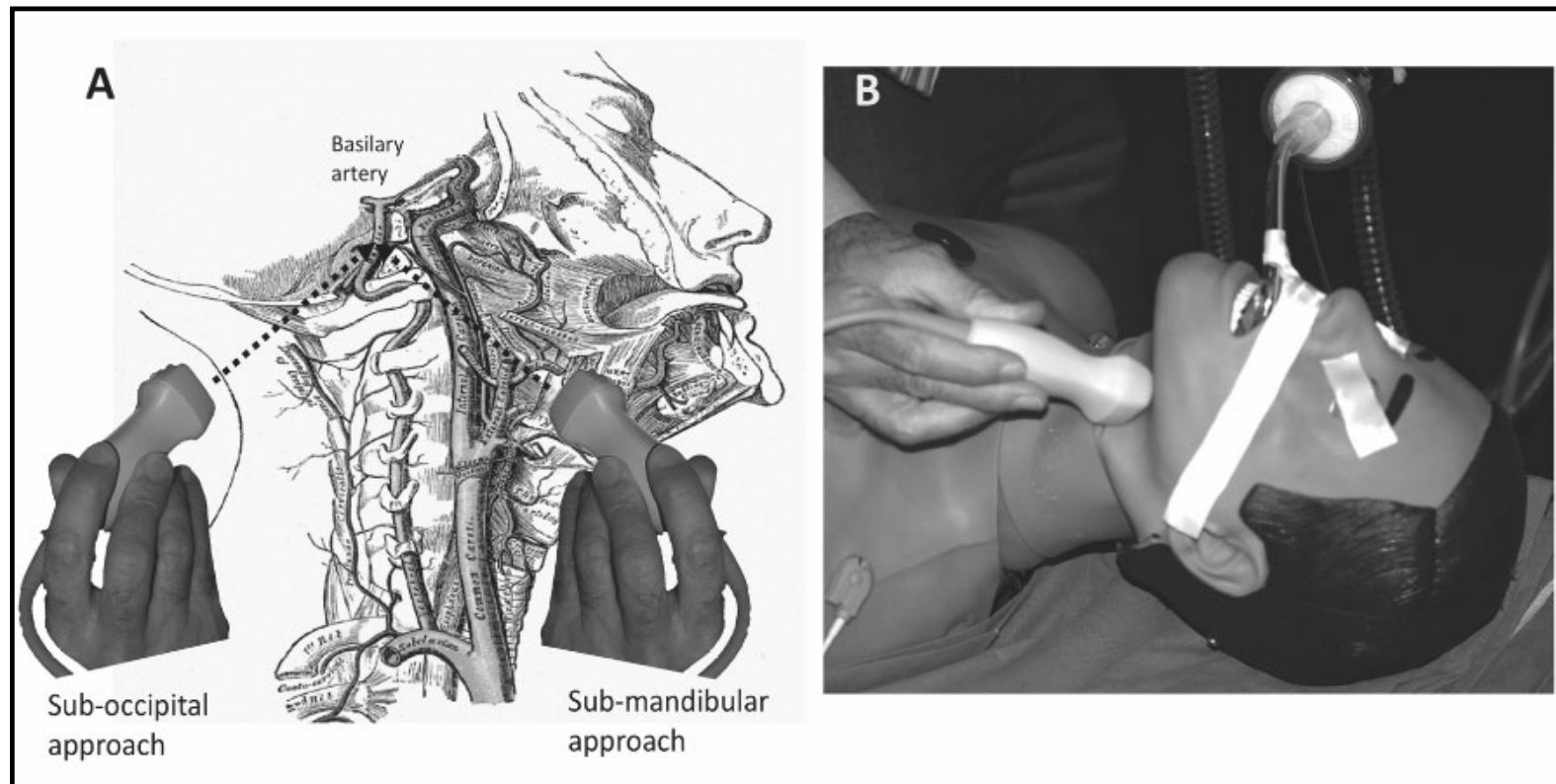
Wissam Thome, MD

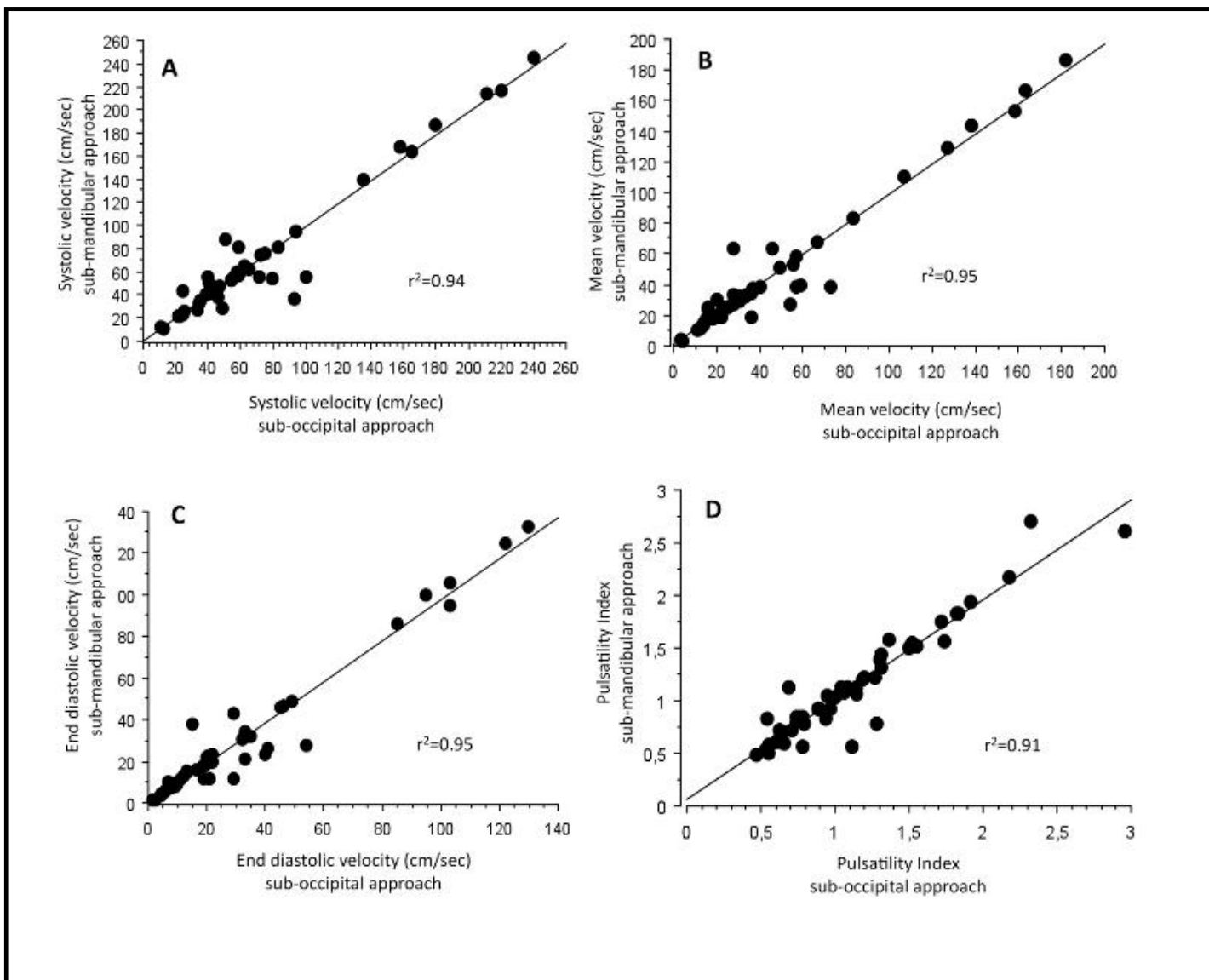
Sébastien Tanaka, MD

Pierre Etienne Leblanc, MD

Jacques Duranteau, MD, PhD

Bernard Vigué, MD, PhD

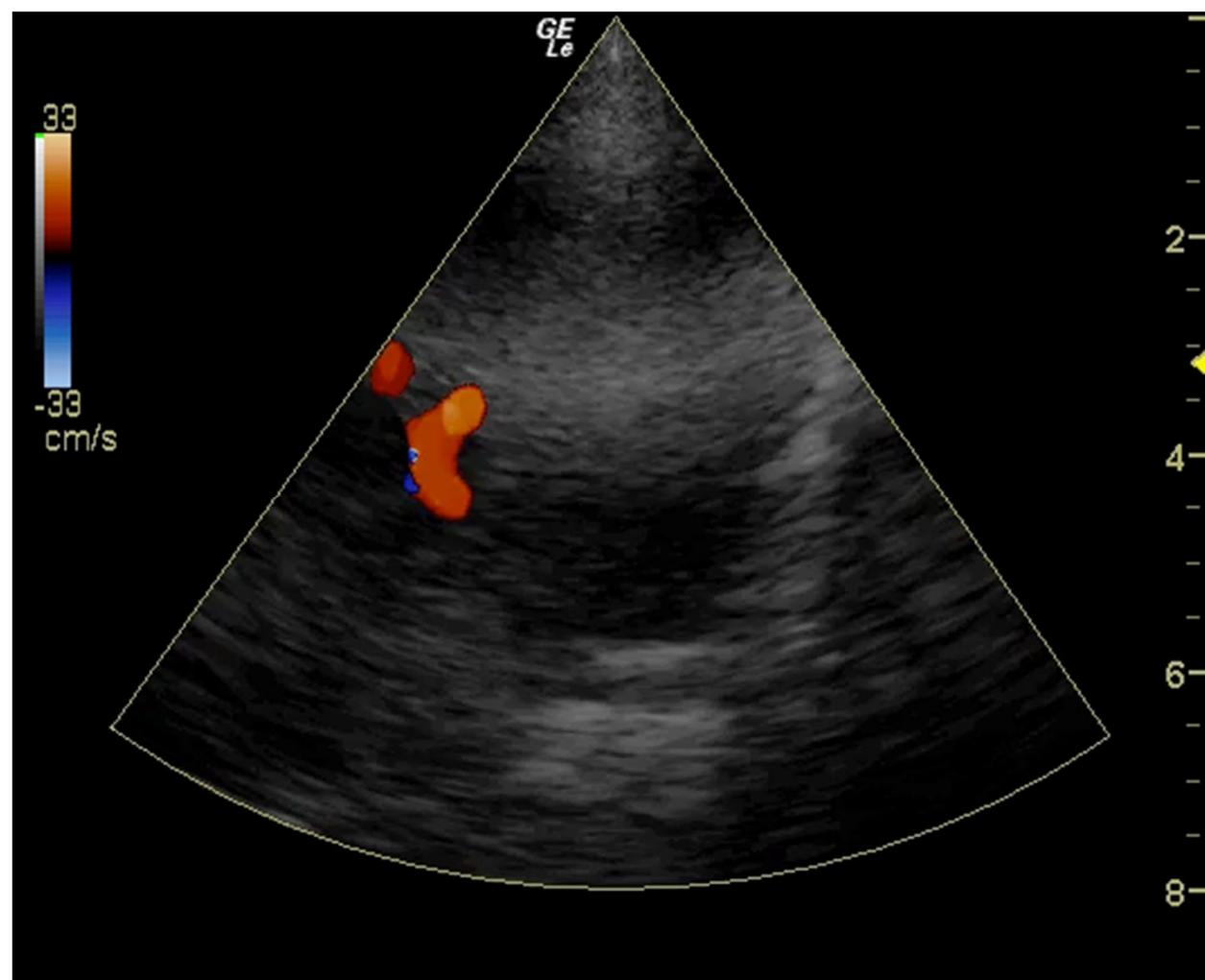




# Deux méthodes

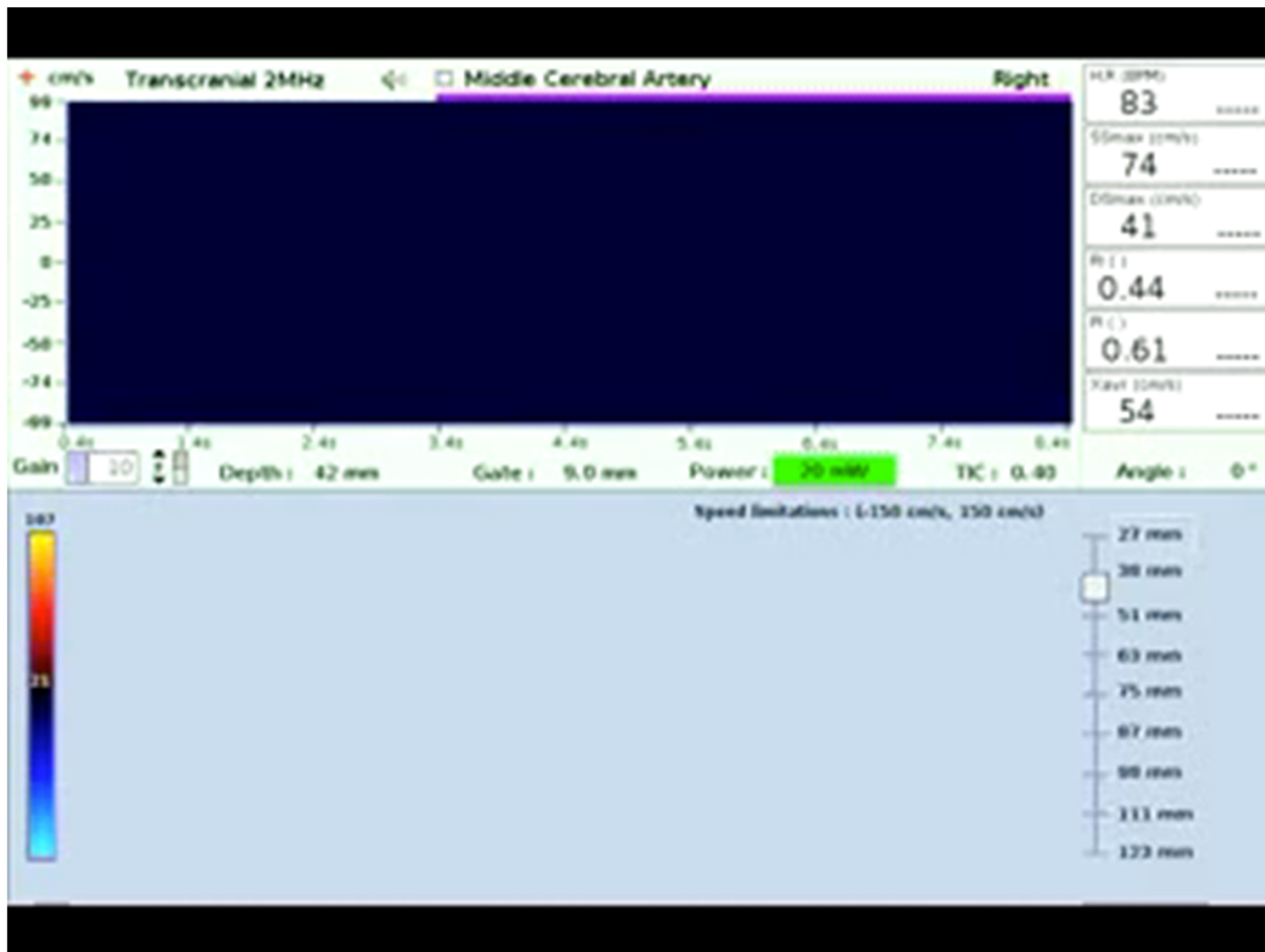
---

- Doppler pulsé conventionnel
- Doppler couleur 2D
  - Duplex (couplage échographie-Doppler pulsé)
  - Triplex (couplage échographie, Doppler couleur, Doppler pulsé)







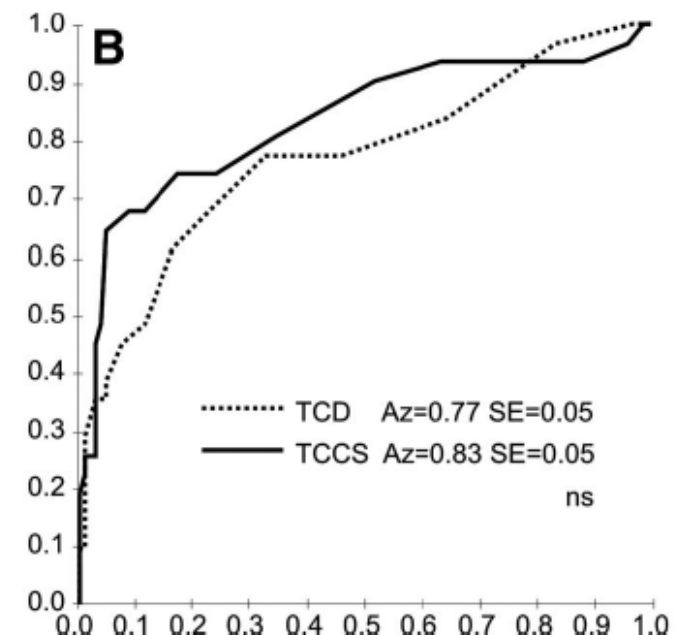


# Doppler Couleur ou pulsé ?

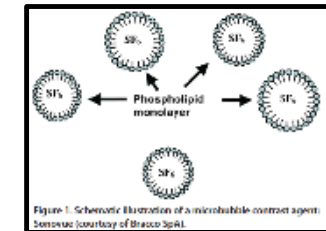
---

Middle cerebral artery vasospasm: Transcranial color-coded duplex sonography versus conventional nonimaging transcranial Doppler sonography\*

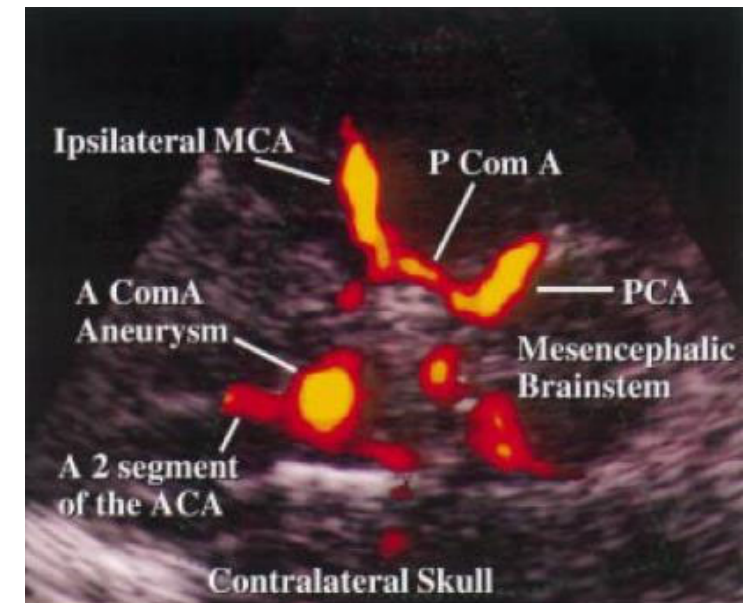
Maciej Swiat, MD; John Weigle, MD, PhD; Robert W. Hurst, MD; Scott E. Kasner, MD; Mikolaj Pawlak, MD, PhD; Michal Arkuszewski, MD, PhD; Riyadh N. Al-Okaili, MD, PhD; Miroslaw Swiercz, Dsc; Andrzej Ustymowicz, MD, PhD; Grzegorz Opala, MD, PhD; Elias R. Melhem, MD, PhD; Jaroslaw Krejza, MD, PhD



# Doppler avec contraste

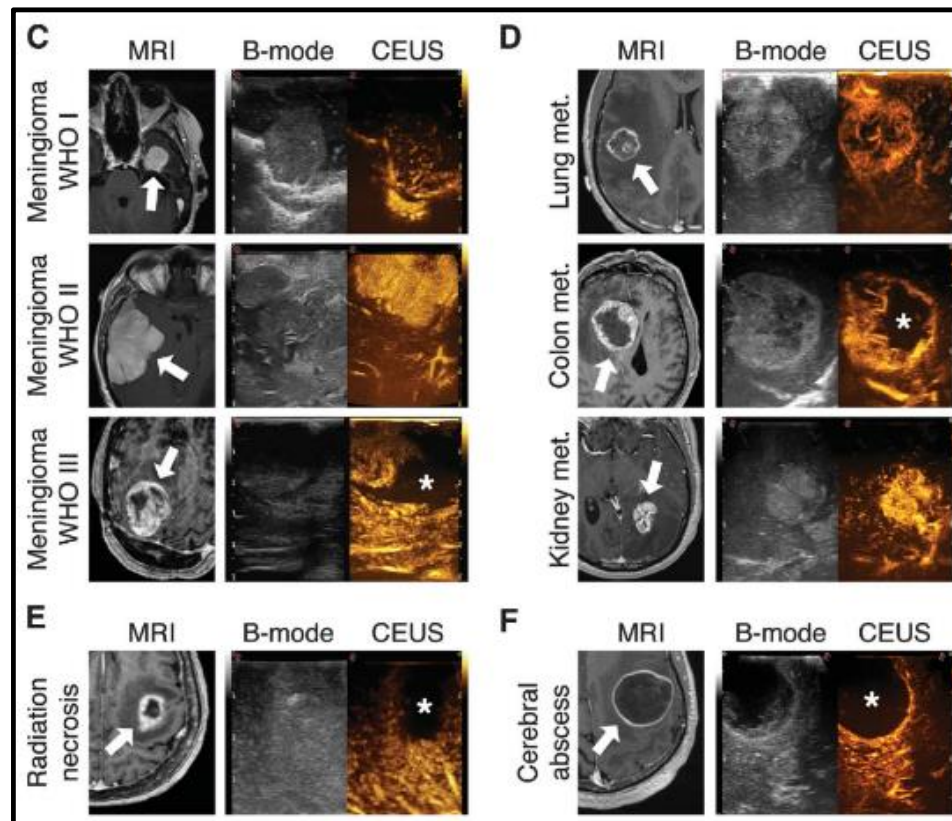


- Agent de contraste : microsphères lipidiques
- Augmente la précision du DTC
- Efficacité démontrée pour diagnostic
  - Anévrismes
  - MAV, FAV
  - FOP
- Sensibilisation pour confirmation de mort encéphalique ?



# Intraoperative Contrast-Enhanced Ultrasound for Brain Tumor Surgery

71 patients

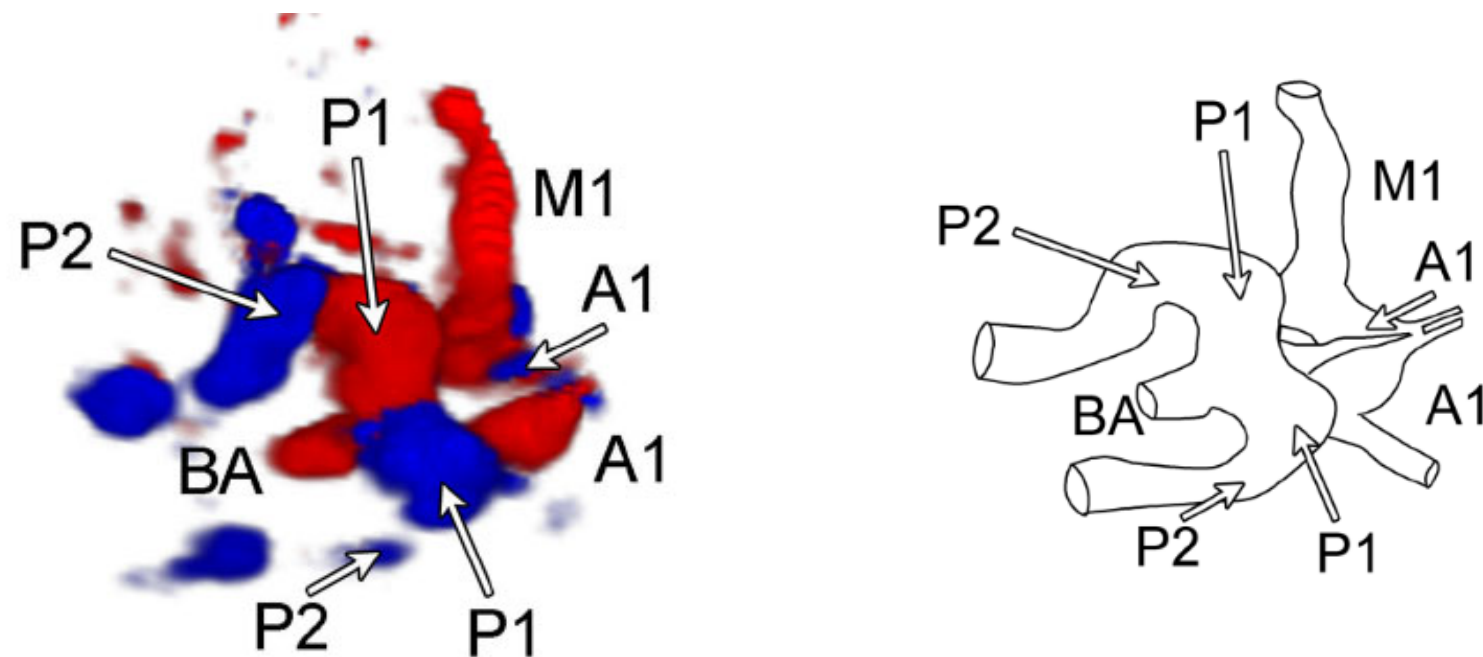


Francesco Prada, MD\*  
Alessandro Perin, MD, PhD\*  
Alberto Martegani, MD‡  
Luca Aiani, MD‡  
Luigi Solbiati, MD§  
Massimo Lamperti, MD¶  
Cecilia Casali, MD\*  
Federico Legnani, MD\*  
Luca Mattei, MD\*  
Andrea Saladino, MD\*  
Marco Saini, MD\*  
Francesco DiMeco, MD\*‡§¶||

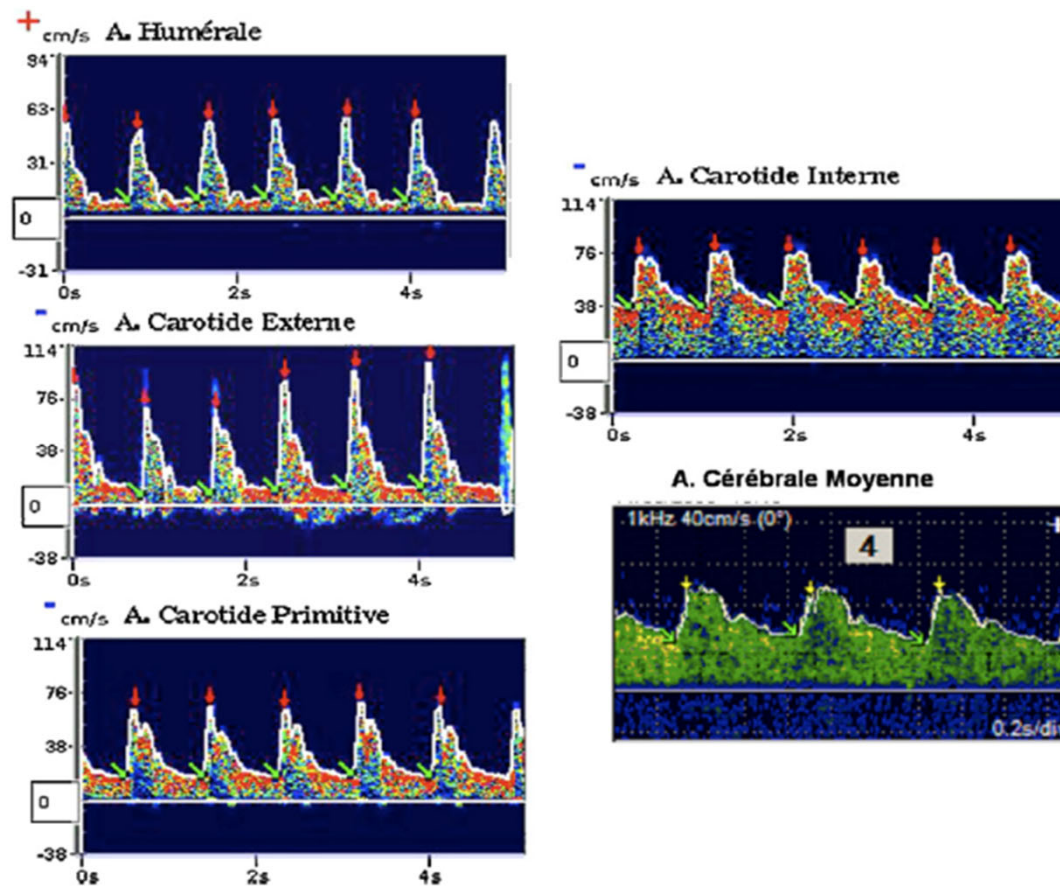
## Real-Time 3D Contrast-Enhanced Transcranial Ultrasound and Aberration Correction

Nikolas M. Ivancevich<sup>\*</sup>, Gianmarco F. Pinton<sup>\*</sup>, Heather A. Nicoletto<sup>†</sup>, Ellen Bennett<sup>†</sup>, Daniel T. Laskowitz<sup>†</sup>, and Stephen W. Smith<sup>\*</sup>

---



# Résistance artérielle



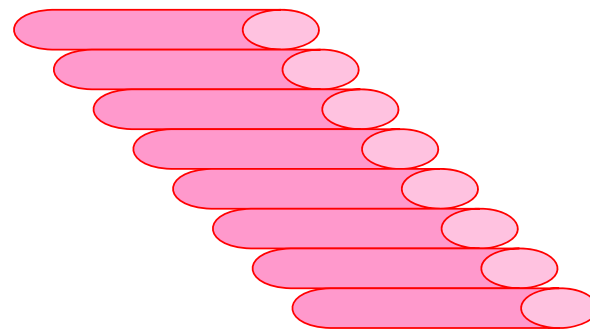
Geeraerts T, Neurochirurgie, 2008

40 % R



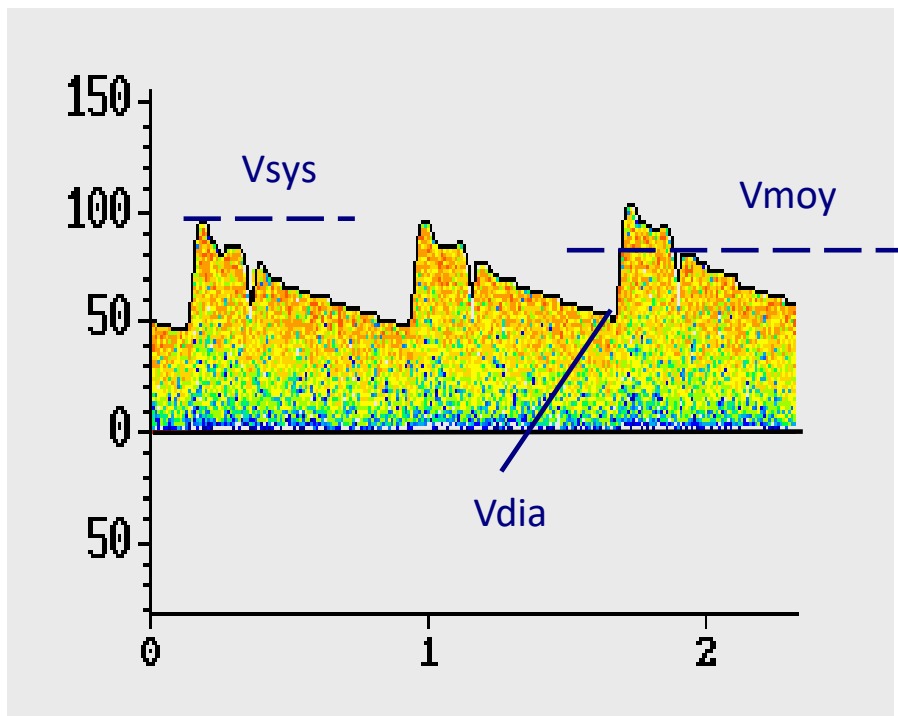
Gros tronc artériel

60 % R



Artérioles

# *Indices*



Index de pulsatilité (Gosling)

$$IP = \frac{Vsystole - Vdia}{Vmoy}$$

Index de résistivité (Pourcelot)

$$IR = \frac{Vsystole - Vdia}{Vsystole}$$

# Valeurs normales

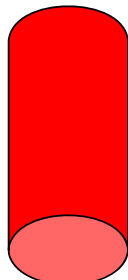
Tableau I – Vitesses circulatoires et index de pulsatilité : valeurs normales chez l'adulte.

Artère	Profondeur (mm)	Moyenne	Diastolique	Systolique	IR	IP
ACM	40-55	62 ± 12	45 ± 10	90 ± 16	0,4-0,7	0,90 ± 0,24
ACA	60-75	50 ± 13	35 ± 10	71 ± 18		0,83 ± 0,17
ACP	55-80	37 ± 10	26 ± 7	53 ± 11		0,88 ± 0,20
TB	85-100	39 ± 9	31 ± 9	52 ± 9		

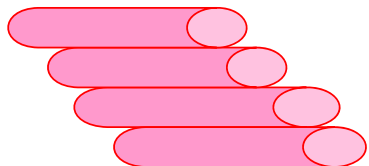
ACM : artère cérébrale moyenne ; ACA : artère cérébrale antérieure ; ACP : artère cérébrale postérieure ; TB : Tronc basilaire ; IR : index de résistance; IP : index de pulsatilité

## Extra-crânien

- Pressions systémiques
- Volémie
  - Tachycardie ( $\downarrow$ IP car  $\downarrow$ ralaxation distolique)
- Modification de section dans les artères extra-crâniennes



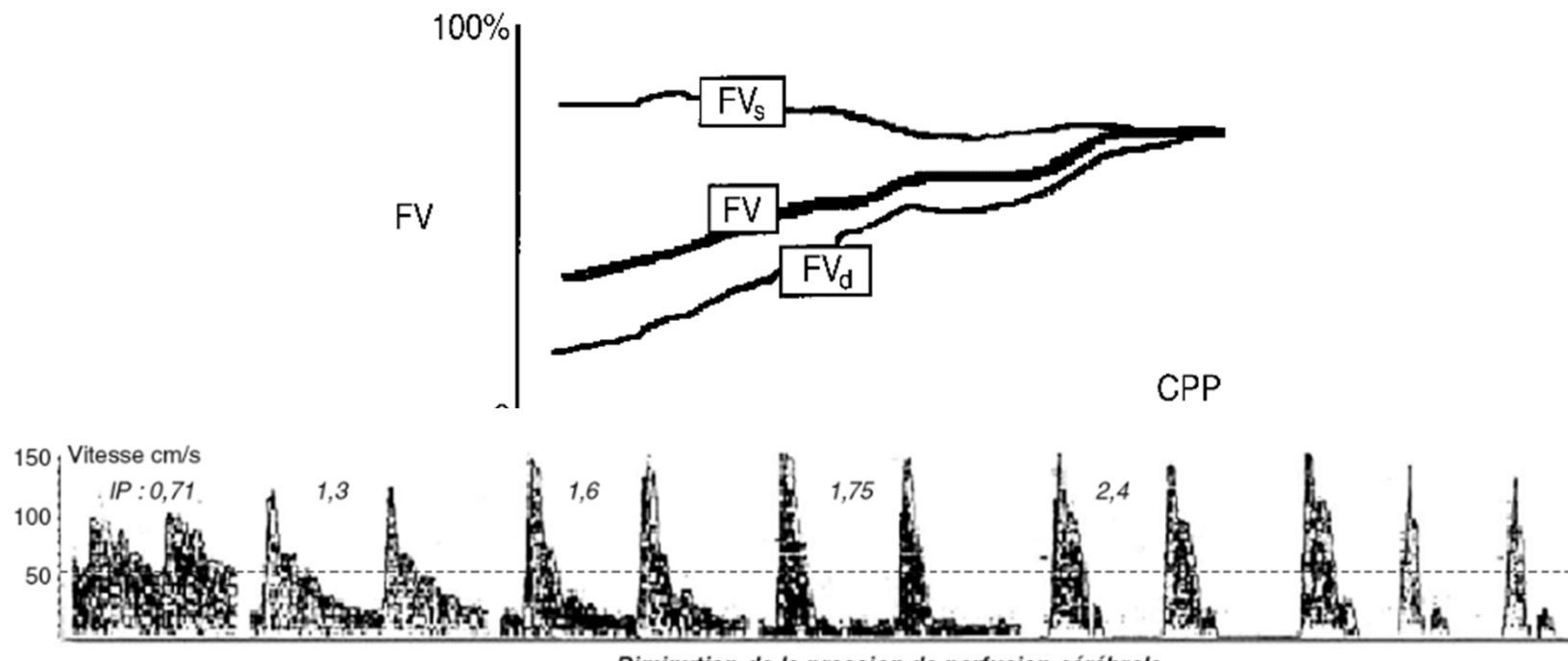
- Modification de diamètre
  - vasospasme
  - sténose, occlusion



## Résistances artériolaires

- Hypertension intracrânienne
  - Variations de capnie
  - Anémie
- ⇒ Vélocités diastoliques, IP

# Diminution de la PPC

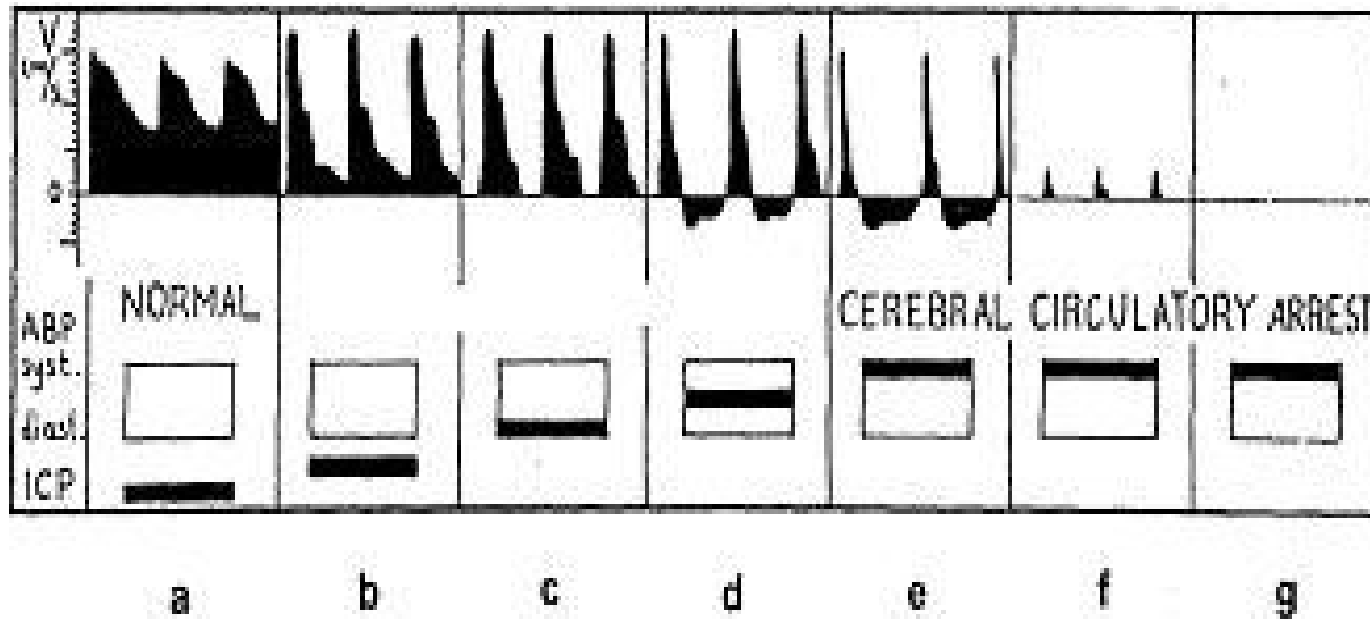


- Indépendant de l'angle d'insonation

Kirpatrick P, *Head Trauma*, 2000

Bruder N, *EMC*, 2006

# Hypertension intracrânienne



Augmentation des résistances  
↓ Vélocité diastolique      ↑ IP

ETT : Ø 4

11-3L

15 MMHg 20

89:36:15

TRAIT 1/0/F/F3

Dpt Anesthesie

Hopital BICETRE

HP Carotide

X

SAIN 65

COMP 45

3.6MHz

4cm

FENET

LONG.

6

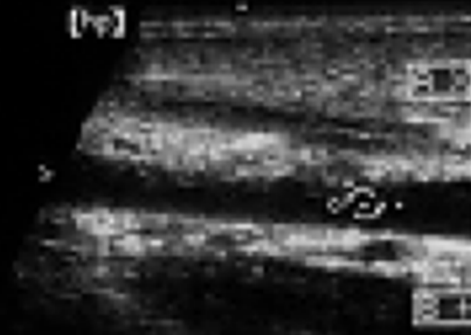
170

60

20

CP DROITE

(v)



1	100	0.0%
2	104	0.0%
3	98	0.0%
4	100	0.0%
5	100	0.0%
6	100	0.0%
7	100	0.0%
8	100	0.0%
9	100	0.0%
10	100	0.0%
11	100	0.0%
12	100	0.0%
13	100	0.0%
14	100	0.0%
15	100	0.0%
16	100	0.0%
17	100	0.0%
18	100	0.0%
19	100	0.0%
20	100	0.0%
21	100	0.0%
22	100	0.0%
23	100	0.0%
24	100	0.0%
25	100	0.0%
26	100	0.0%
27	100	0.0%
28	100	0.0%
29	100	0.0%
30	100	0.0%
31	100	0.0%
32	100	0.0%
33	100	0.0%
34	100	0.0%
35	100	0.0%
36	100	0.0%
37	100	0.0%
38	100	0.0%
39	100	0.0%
40	100	0.0%
41	100	0.0%
42	100	0.0%
43	100	0.0%
44	100	0.0%
45	100	0.0%
46	100	0.0%
47	100	0.0%
48	100	0.0%
49	100	0.0%
50	100	0.0%
51	100	0.0%
52	100	0.0%
53	100	0.0%
54	100	0.0%
55	100	0.0%
56	100	0.0%
57	100	0.0%
58	100	0.0%
59	100	0.0%
60	100	0.0%
61	100	0.0%
62	100	0.0%
63	100	0.0%
64	100	0.0%
65	100	0.0%
66	100	0.0%
67	100	0.0%
68	100	0.0%
69	100	0.0%
70	100	0.0%
71	100	0.0%
72	100	0.0%
73	100	0.0%
74	100	0.0%
75	100	0.0%
76	100	0.0%
77	100	0.0%
78	100	0.0%
79	100	0.0%
80	100	0.0%
81	100	0.0%
82	100	0.0%
83	100	0.0%
84	100	0.0%
85	100	0.0%
86	100	0.0%
87	100	0.0%
88	100	0.0%
89	100	0.0%
90	100	0.0%
91	100	0.0%
92	100	0.0%
93	100	0.0%
94	100	0.0%
95	100	0.0%
96	100	0.0%
97	100	0.0%
98	100	0.0%
99	100	0.0%
100	100	0.0%

MEAN = 100

+

-

+

-

+

-

+

-

+

-

+

-

+

-

+

-

+

-

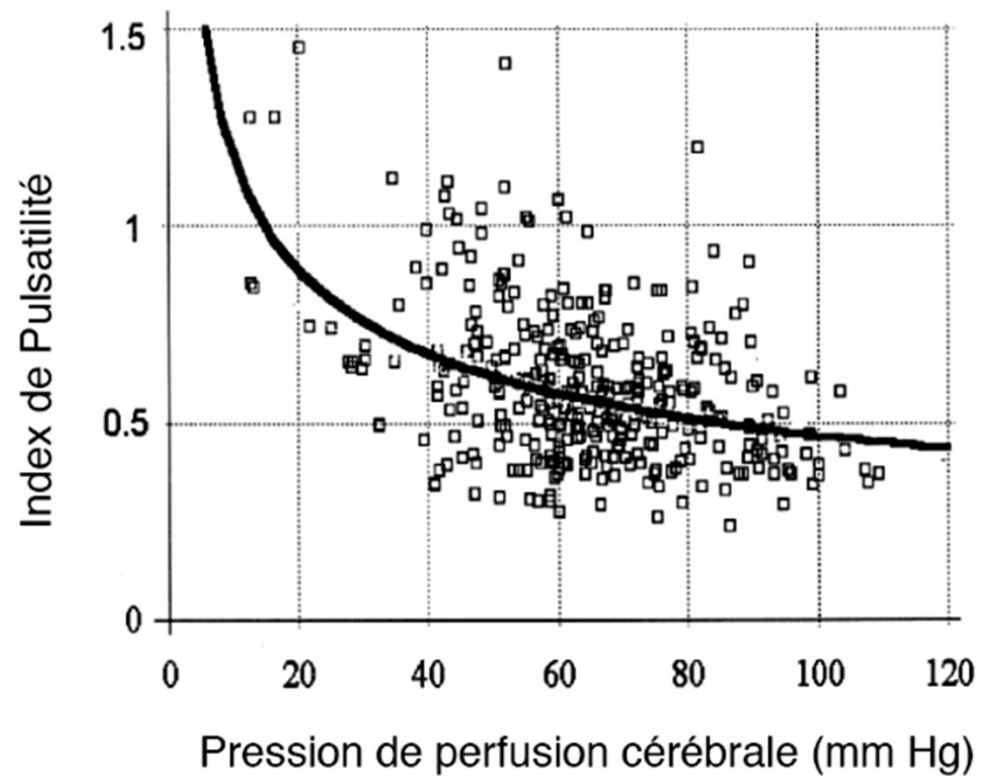
+

-

+

-

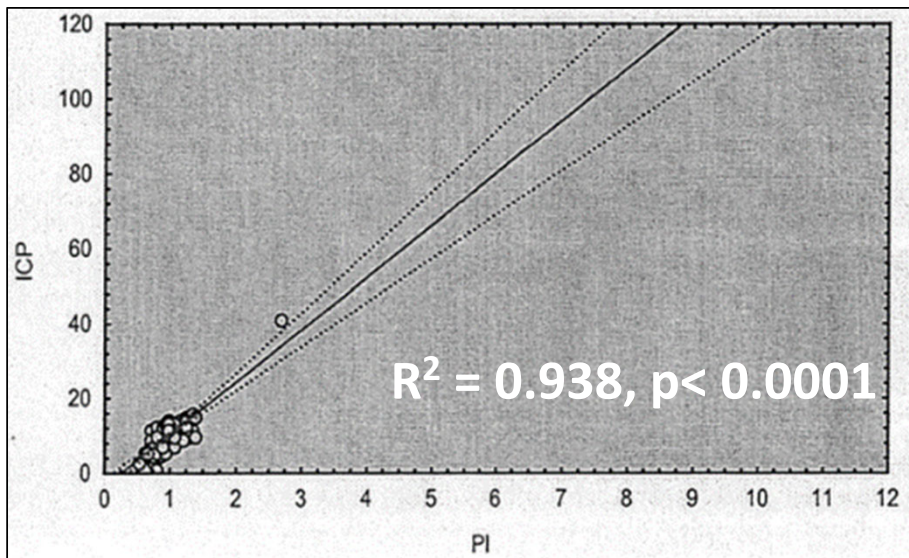
# Pression de perfusion cérébrale ?



Czosnyka M, *J Neurosurg*, 1998

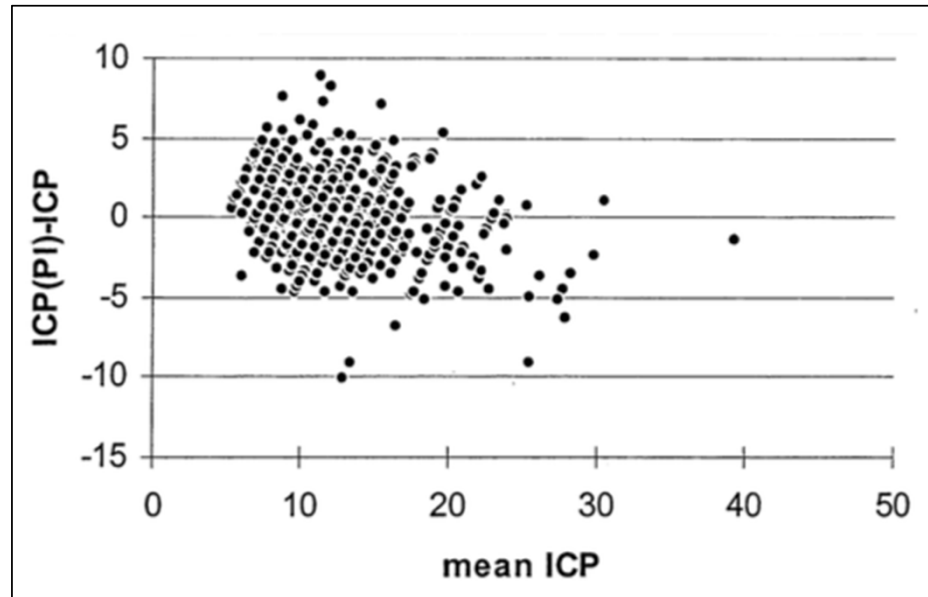
## 1- Diagnostic de ischémie cérébrale

- Prospective
- n=80 dont 60% HSA et ¼ TC, [2-79 ans]
- Détermination corrélation IP et PIC
  - => équation de droite de régression linéaire :  
 $PIC_{\text{prédite}}$
  - Comparaison  $PIC_{\text{mesurée}}$  et  $PIC_{\text{prédite}}$



Bellner J, Surg Neurol 2004, 62

## 1- Diagnostic de ischémie cérébrale



$$\text{PIC}_{\text{prédite}} = \text{PIC mesurée} +/- 4.2 \text{ mmHg}$$

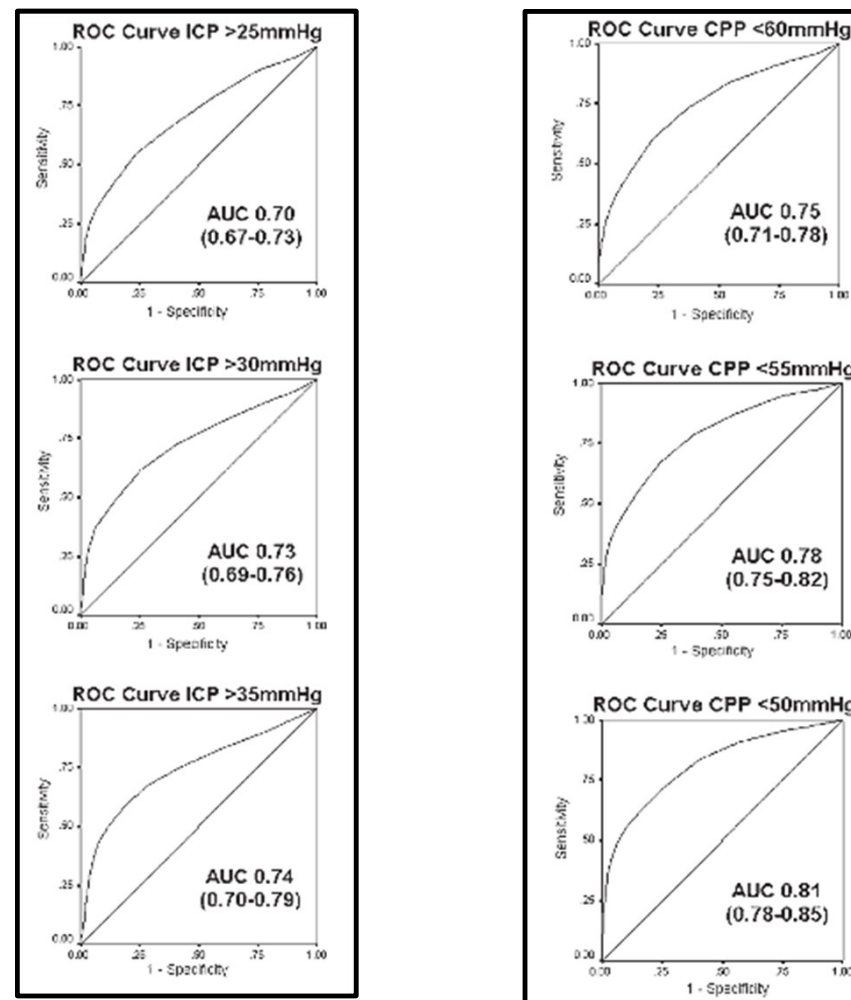
Dans 95% des cas (précision)

Bellner J, Surg Neurol 2004, 62

# Reliability of the Blood Flow Velocity Pulsatility Index for Assessment of Intracranial and Cerebral Perfusion Pressures in Head-Injured Patients

Christian Zweifel, MD<sup>a,b</sup>  
Marek Czosnyka, PhD<sup>b</sup>  
Emmanuel Carrera, MD<sup>a</sup>  
Nicolas de Riva, MD<sup>a</sup>  
John D. Pickard, MD, FMedSci<sup>a</sup>  
Peter Smielewski, PhD<sup>a</sup>

290 head-injured patients

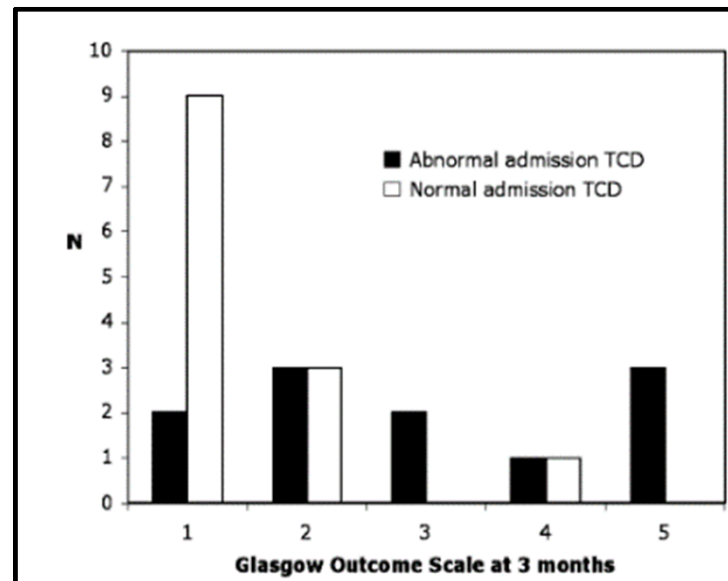


Catherine Ract  
Sophie Le Moigno  
Nicolas Bruder  
Bernard Vigué

## Transcranial Doppler ultrasound goal-directed therapy for the early management of severe traumatic brain injury

DTC considéré anormal si au moins 2 des 3 critères suivants:

- $V_m < 30 \text{ cm/s}$ ,
- $V_d < 20 \text{ cm/s}$ ,
- $IP > 1.4$ .



**Fig. 2** Three-month Glasgow Outcome Score in patients with abnormal admission TCD (filled columns) and in patients with normal admission TCD (open columns). 1 Good recovery, 2 moderate disability, 3 severe disability, 4 vegetative state, 5 dead

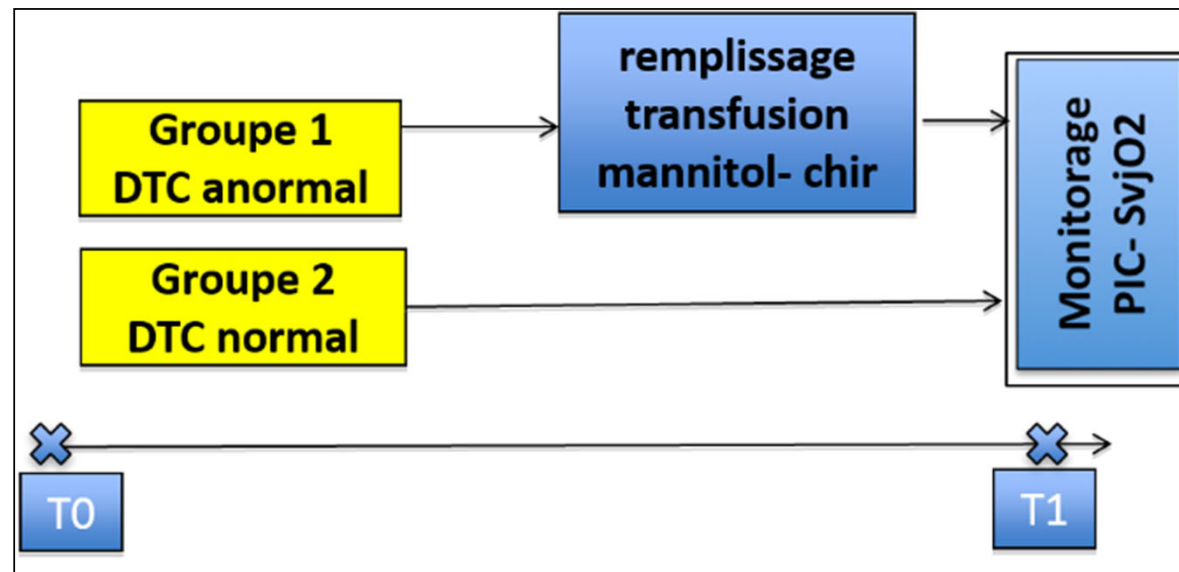
## 2- Triage et intensification du traitement

	Abnormal TCD (n = 9) Group 1		Normal TCD (n = 9) Group 2	
	In the field	At the trauma centre	In the field	At the trauma centre
Time from trauma (min)	68 ± 25	143 ± 50	61 ± 14	146 ± 57
Abnormal TCD (n)	9	4	0	0
Systolic velocity (cm/s)	67 ± 21	76 ± 23	79 ± 25	81 ± 17
Mean velocity (cm/s)	28 ± 10†	37 ± 12*,†	48 ± 14†	53 ± 9†
Diastolic velocity (cm/s)	9 ± 7†	18 ± 11*,†	33 ± 10†	38 ± 10†
Pulsatility index	2.2 ± 0.6†	1.7 ± 0.8*,†	0.9 ± 0.3†	0.8 ± 0.3†
MAP (mmHg)	93 ± 25	101 ± 32	72 ± 22	83 ± 19
Haemoglobin (g/dl)	14 ± 1		122	
Areactive mydriasis	4	2	0	0
Norepinephrine (n)	–	2	–	3
Mannitol (n)	–	7	–	0
Emergency neurosurgery (n)	–	3	–	0
48 h mortality (n)	–	6†	–	1†

- Normalisation par traitement intensif (faisabilité)
- Association doppler ⇔ gravité/pronostic
  - Pas de normalisation: 100% décès, différence entre 2 groupes
  - Doppler initial normal: 0% neurochirurgie

## 2- Triage et intensification du traitement

- Etude pilote: prospective, non randomisée, GCS≤8
- Objectifs: FC<120, PAM>75, Hb>10
- Doppler considéré anormal (PPC basse):
  - IP >1,4 , Vd < 20 et Vm < 30 cm.s<sup>-1</sup>



# Triage

Paul Jaffres  
Julien Brun  
Philippe Declety  
Jean-Luc Bosson  
Bertrand Fauvage  
Almuth Schleiermacher  
Affif Kaddour  
Daniel Anglade  
Claude Jacquot  
Jean-Francois Payen

## Transcranial Doppler to detecton admission patients at risk for neurological deterioration following mild and moderate brain trauma

	Group 1	Group 2	<i>p</i>
TCD measurements (cm/s)			
FVm	43 (22–75)	36 (23–51)	0.37
FVs	75 (46–130)	77 (53–112)	0.93
FVd	27 (12–57)	26 (16–37)	0.30
Pulsatility index	1.28 (0.78–2.31)	1.64 (0.96–2.05)	0.05

## 2- Triage et intensification du traitement

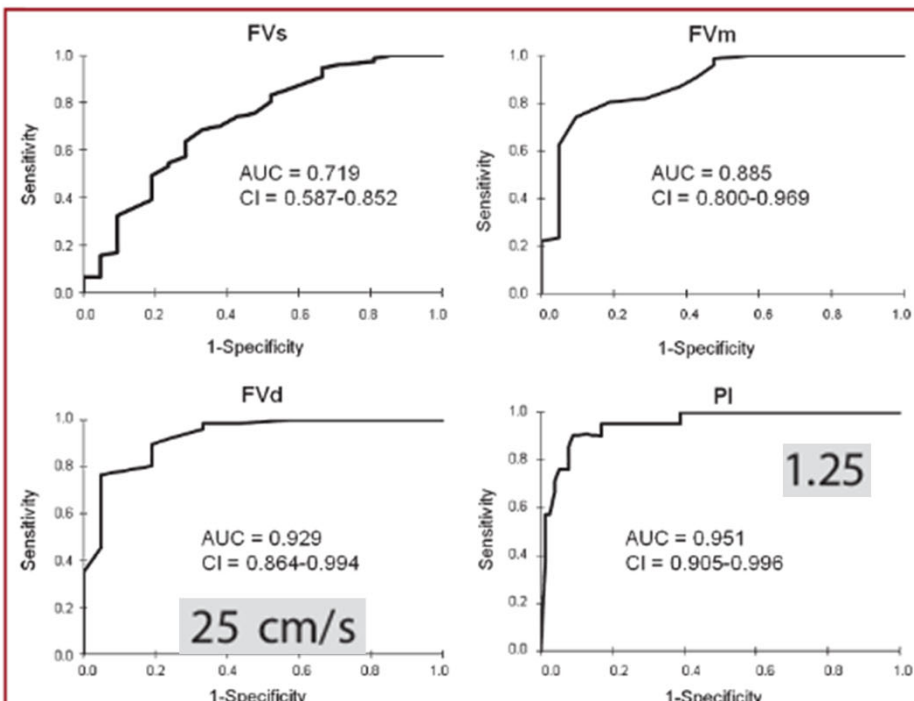
- Prospective, monocentrique, n=98 Trauma GCS [9-15]
  - Marshall 1 et 2
  - doppler « patients stables » vs « dégradation neuro J7 »
  - dégradation: 21/98 (21.4%), 3 décès.

Status on Posttrauma Day 7: Patients With and Without Secondary Neurological Deterioration <sup>a</sup>			
	No SND (n = 77)	SND (n = 21)	P
FVm, cm/s	49 (31-80)	31 (18-60)	<.01
FVs, cm/s	84 (47-128)	69 (38-119)	<.01
FVd, cm/s	34 (18-64)	18 (11-36)	<.01
Pulsatility index	1.02 (0.66-1.83)	1.47 (1.07-2.33)	<.01
Injury-to-TCD time, min	215 (42-700)	300 (90-690)	.03

Prédiction: Se: 90% / Sp: 91%

Bouzat P, Neurosurgery 2011,68

# Transcranial Doppler to Screen on Admission Patients With Mild to Moderate Traumatic Brain Injury

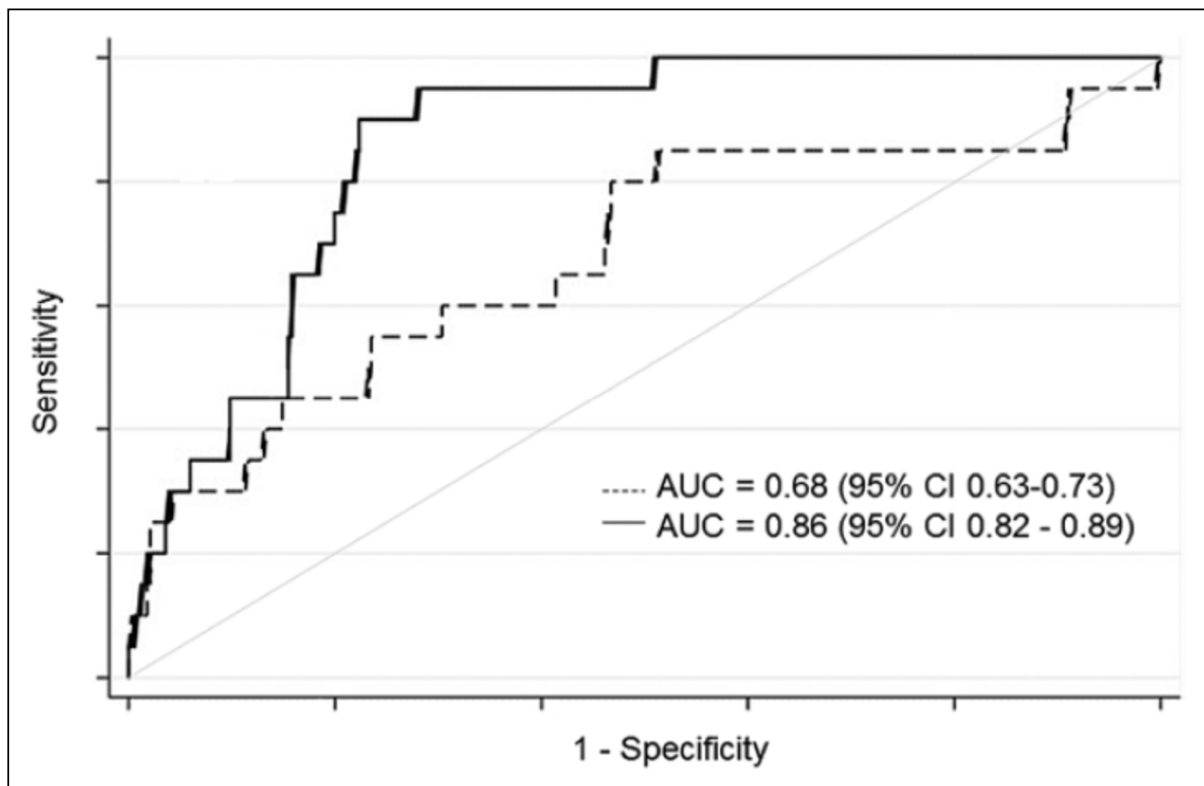


**FIGURE 1.** Receiver-operating characteristic curves of the transcranial Doppler (TCD) parameters. AUC, area under the curve; CI, 95% confidence interval; FVd, FVm, and FVs, diastolic, mean, and systolic cerebral blood flow velocities, respectively; PI, pulsatility index.

Pierre Bouzat, MD\*  
Gilles Francony, MD\*  
Philippe Declerq, MD\*  
Céline Genty, BSc‡  
Affif Kaddour, MD§  
Pierre Bessou, MD¶  
Julien Brun, MD\*  
Claude Jacquot, MD\*  
Stephan Chabardes, MD, PhD||  
Jean-Luc Bosson, MD, PhD‡  
Jean-François Payen, MD, PhD\*  
\*CHU de Grenoble, France  
†CHU de Nantes, France  
‡CHU de Poitiers, France  
§CHU de Clermont-Ferrand, France  
¶CHU de Toulouse, France  
||CHU de Paris, France

## 2- Triage et intensification du traitement

- Prospective, multicentrique, n=356 MMTBI = GCS 9 à 15
  - Marshall 2
  - Objectifs: validation seuils IP 1.25 et Vd 25
  - dégradation neuro <J7: 20 (6%), 4 décès.



VPN=98%  
VPP= 18%

Bouzat P et al.,  
Anesthesiology  
2016

## 2- Triage et intensification du traitement



### Recommandations Formalisées d'Experts 2016

R1.4 - Il faut probablement évaluer la gravité initiale des traumatisés crâniens à l'aide du Doppler transcrânien.

(GRADE 2+) Accord FORT

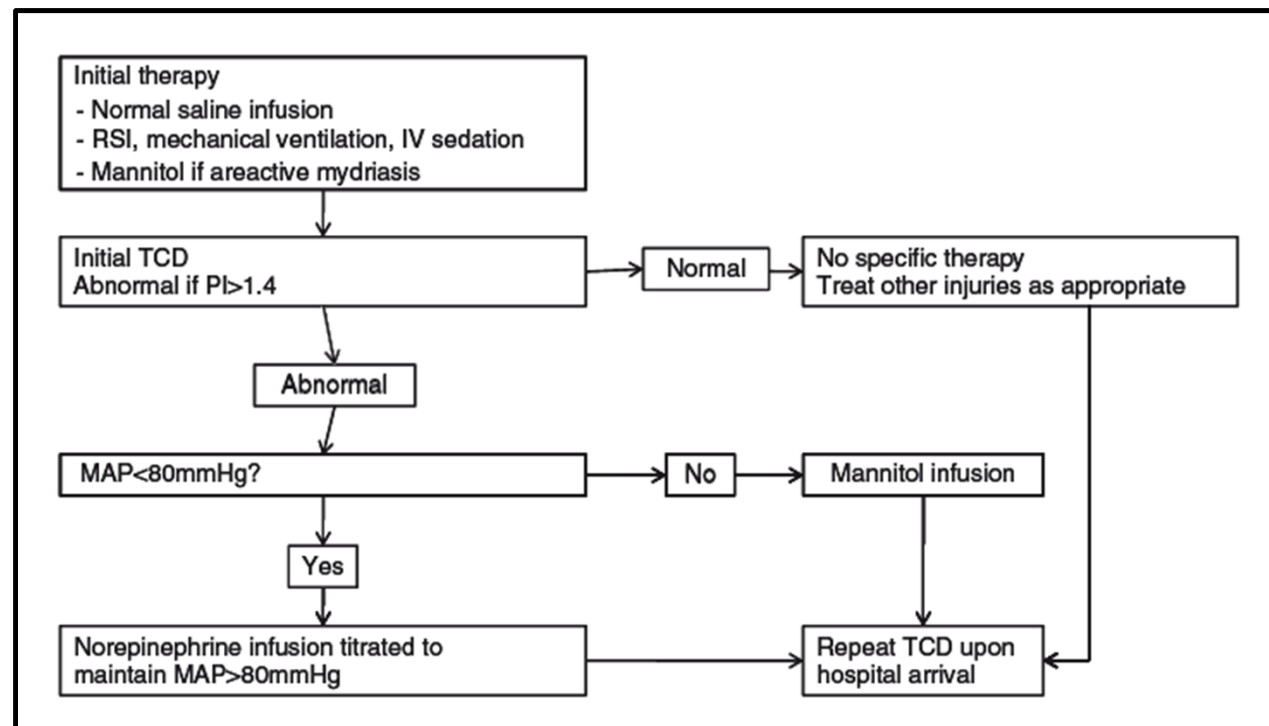
#### Argumentaire :

Chez les traumatisés crâniens, l'indice le plus sensible au Doppler transcrânien (DTC) pour détecter la baisse de Pression de Perfusion Cérébrale (PPC) est l'index de pulsatilité (IP)<sup>39</sup>. Tant que l'on ne dispose pas d'un monitorage

# Pre-hospital transcranial Doppler in severe traumatic brain injury: a pilot study

K. TAZAROURTE<sup>1,2</sup>, A. ATCHABAHIAN<sup>3</sup>, J.-P. TOURTIER<sup>1</sup>, J.-S. DAVID<sup>1</sup>, C. RACT<sup>2</sup>, D. SAVARY<sup>1</sup>, M. MONCHI<sup>1</sup> and B. VIGUÉ<sup>2</sup>

<sup>1</sup>Service d'aide médicale urgente (SAMU) 77, Pôle Urgence, Hôpital Marc Jacquet, Melun, France, <sup>2</sup>AP-HP, Département d'Anesthésie Réanimation, Université Paris Sud, Hôpital de Bicêtre, Le Kremlin Bicêtre, France and <sup>3</sup>Department of Anesthesiology, NYU Medical Center, New York, NY



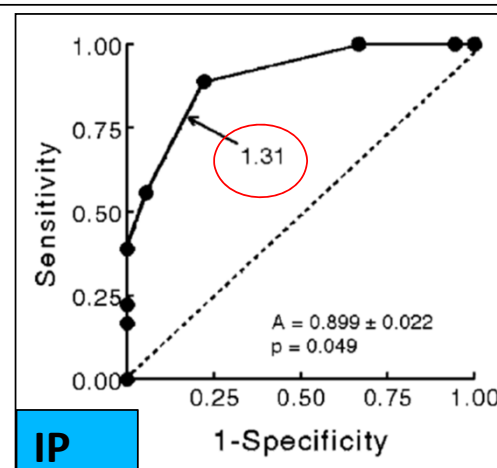
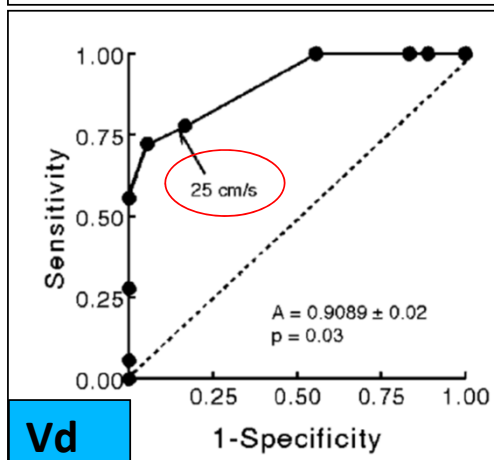
## 2- Triage et intensification du traitement

- Prospective monocentrique, n=36 [enfants](#)
- Traumatisme crânien sévère/modéré

Trabold F, Int Care Med 2004; 30

	Good prognosis GOS [1-2], n=18	Poor prognosis GOS [3-5], n=18
V <sub>max</sub> (cm/s)	96±28	77±21
V <sub>ed</sub> (cm/s)	38±11	16±11*
V <sub>mean</sub> (cm/s)	56±18	35±13*
RI	0.59±0.09	0.79±0.10*
PI	1.08±0.31	1.97±0.73*

\*p<0.05 versus group 1 in univariate analysis



### 3- Dissection carotidienne

Critères de Denver	Critères de Memphis
<ul style="list-style-type: none"><li>-Fractures du rachis cervical</li><li>-Déficit neurologique inexplicable</li><li>-Fr base au niveau du canal carotidien</li><li>-Fr Lefort II et III</li><li>-Hématome cervical</li><li>-Souffle cervical &lt; 50 ans</li><li>-AVC ischémique</li><li>-TCG avec score de GCS &lt; 6</li><li>-pendaison</li></ul>	<ul style="list-style-type: none"><li>-Fractures du rachis cervical</li><li>-Déficit neurologique inexplicable par l' imagerie cérébrale</li><li>-Fr base au niveau du canal carotidien</li><li>-Fr Lefort II et III</li><li>-Syndrome de CBH</li><li>-Lésions des parties molles cervicales</li></ul>

### 3- Dissection carotidienne

- **Rétrospective**, dissection vs. contrôles appariés 1:4
- Profil doppler cas avec dissection confirmée/CTA

	TICAD	Controls 1	Controls 2	<i>p</i>
FVs (cm/s)	51 (22–92)	91 (57–123) <sup>a</sup>	80 (46–115) <sup>a</sup>	<0.01
FVm (cm/s)	36 (18–64)	53 (31–73) <sup>a</sup>	35 (25–64) <sup>b</sup>	<0.01
FVd (cm/s)	29 (15–53)	40 (18–55) <sup>a</sup>	25 (12–47) <sup>b</sup>	<0.01
PI	0.70 (0.18–1.45)	0.98 (0.60–1.75) <sup>a</sup>	1.36 (0.84–3.09) <sup>a, b</sup>	<0.01
PI < 0.80 ( <i>n</i> )	10	4	0	<0.01
FVs asymmetry (%)	47 (7–60)	12 (0–22) <sup>a</sup>	12 (0–41) <sup>a</sup>	<0.01
FVm asymmetry (%)	37 (4–51)	12 (0–29) <sup>a</sup>	15 (0–36) <sup>a</sup>	<0.01
FVd asymmetry (%)	29 (0–40)	14 (0–24)	16 (0–52)	0.18
PI asymmetry (%)	46 (16–85)	9 (1–39) <sup>a</sup>	13 (0–53) <sup>a</sup>	<0.01
FVs asymmetry >25% ( <i>n</i> )	9	0	5	<0.01
PI ≤ 0.80 and FVs asymmetry >25% ( <i>n</i> )	9	0	0	<0.01

- ↘ vélocités et IP homolatérale à la dissection
- ↑ assymétrie des vélocités si dissection

### 3- Dissection carotidienne



#### Recommandations Formalisées d'Experts 2016

R3.2 - Il faut probablement faire précocement une exploration des troncs supra-aortiques et des vaisseaux intracrâniens par angiotomodensitométrie chez les patients présentant des facteurs de risque.

(GRADE 2+) Accord FORT

# Conclusion

---

- Progrès techniques certains
- Taux de succès augmente
- Anatomie cérébrale et Doppler transcrânien
- Développement futur pour l'anesthésie réanimation
  - Contraste
  - 3D
- Attention à la toxicité des ultrasons

**Je vous remercie de votre attention**

[geeraerts.t@chu-toulouse.fr](mailto:geeraerts.t@chu-toulouse.fr)

